

## ΚΕΦΑΛΑΙΟ Ι

### ΑΝΑΛΥΣΗ ΚΑΙ ΤΑΞΙΝΟΜΗΣΗ ΤΩΝ ΕΔΑΦΩΝ

#### 1.1 Φυσικές ιδιότητες τῶν ἐδαφῶν

Οι φυσικές ιδιότητες τῶν ἐδαφῶν ἀναφέρονται σὲ μεγέθη πού εἶναι ἀπαραίτητα γιά τήν ἀναγνώριση καὶ τήν ταξινόμησή τους.

Ο ἀριθμός τῶν φυσικῶν ιδιοτήτων πού εἶναι ἀπαραίτητος γιά τὸν πλήρη χαρακτηρισμό τοῦ ἐδάφους εἶναι ἀρκετά μεγαλύτερος ἀπό τὸν ἀντίστοιχο ἀριθμό γιά τὰ ἄλλα ύλικά (σκυρόδεμα, χάλυβας, κλπ.), πού χρησιμοποιοῦνται στίς ἑφαρμογές ἔργων πολιτικοῦ μηχανικοῦ, γιατὶ τὸ ἐδαφος εἶναι ἔνα ύλικό πού ἀποτελεῖται ἀπό τρεῖς φάσεις (στερεή, υγρή καὶ ἀέρια), μέ ἀποτέλεσμα νά παρουσιάζει σημαντική ἀνομοιογένεια καὶ ἀνισοτροπία, ἐνῷ συγχρόνως οἱ ιδιότητές του ἐπηρεάζονται καὶ ἀπό τὴν προϊστορία του.

Οι μηχανικές ιδιότητες τῶν ἐδαφῶν δέν συνδέονται ἡμεσα μέ τίς φυσικές ιδιότητές τους, ἀλλά υπάρχουν ἐμπειρικές σχέσεις καὶ νομογραφήματα πού ἐπιτρέπουν τὸν προσεγγιστικὸ προσδιορισμὸ τῶν μηχανικῶν ιδιοτήτων τους ἀπό τίς φυσικές ιδιότητες.

Ο ποσοτικός προσδιορισμός τῶν φυσικῶν ιδιοτήτων γίνεται στό ἐργαστήριο ἢ ἐπί τόπου. Υπολογίζονται στό ἐργαστήριο δρισμένα φυσικά μεγέθη καὶ τὰ ύπολοιπα ἀπό μαθηματικές σχέσεις πού συνδέουν τὰ φυσικά μεγέθη μεταξύ τους, δπως φαίνεται στούς πίνακες I καὶ II.

Ἡ γνώση τῶν φυσικῶν ιδιοτήτων εἶναι ἐπίσης ἀπαραίτητη ὅταν τὸ ἐδαφος χρησιμοποιεῖται σάν δομικό ύλικό (φράγματα, ἐπιχώματα ὁδοποιίας, δπλισμένο ἐδαφος).

#### 1.2 Ὁρισμοί

Στόν πίνακα I δίνονται οἱ δρισμοί τῶν μεγεθῶν πού ἐκφράζουν τίς φυσικές ιδιότητες τοῦ ἐδάφους.

Στόν πίνακα II δίνονται οἱ σχέσεις πού συνδέουν τὰ παραπάνω μεγέθη μεταξύ τους.

*ΠΙΝΑΚΑΣ Ι*

ΜΕΓΕΘΗ	ΓΕΝΙΚΕΣ ΣΥΝΘΗΚΕΣ	ΣΥΝΘΗΚΕΣ ΚΟΡΕΣΜΟΥ
Όγκος δλικός	$V = V_s + V_w + V_a$	$V = V_s + V_w$
Όγκος κενών	$V_v = V_w + V_a = V - V_s = V_w / S_r$	$V_v = V_w$
Δείκτης πόρων	$e = \frac{V_v}{V_s} = \frac{n}{I-n} = \frac{\gamma_s}{\gamma_d} - I = \frac{\gamma_s(I+w)}{\gamma} - I$	$e = \frac{V_w}{V_j} = \frac{\gamma_s}{\gamma_w} : w$
Πορδός	$n = \frac{V_v}{V} = \frac{e}{I+e} = 1 - \frac{\gamma_d}{\gamma_s}$	$n = \frac{V_w}{V} = \frac{\gamma_d}{\gamma_w} : w$
Βαθμός κορεσμού	$S_r = \frac{V_w}{V_v} = \frac{\gamma_s \cdot w}{\gamma_w \cdot e}$	$S_r = I$
Βάρος δλικό	$P = P_s + P_w$ ( $P_a \equiv 0$ )	( $P_s$ = δύρος στερεων συστατικών)
Περιεκτικότητα σε νερό	$w = \frac{P_w}{P_s} = S_r e \frac{\gamma_w}{\gamma_s}$	$w = e \frac{\gamma_w}{\gamma_s}$
Φαινόμενο δύρος	$\gamma = \frac{P}{V} = \gamma_d (I+w) = \frac{S_r \gamma_w \gamma_s (I+w)}{S_r \gamma_w + \gamma_s w}$	$\gamma = \gamma_{sat} = \frac{w+1}{w+I/\gamma_s}$
Φαινόμενο δύρος στερεων συστατικών	$\gamma_s = \frac{P_s}{V_s} \div 2,70 \text{ gr/cm}^3$	(για $\gamma_w \equiv 1,00 \text{ gr/cm}^3$ )
Ξηρό φαινόμενο δύρος	$\gamma_d = \frac{P_s}{V} = (I-n) \gamma_s = \frac{\gamma_s}{I+e} = \frac{\gamma}{I+w}$	( $\gamma_d < \gamma < \gamma_{sat}$ )
Φαινόμενο δύρος κορεσμένου έδαφους		$\gamma_{sat} = \gamma_d + n \gamma_w = \gamma = \frac{\gamma_s + \gamma_w \cdot e}{I+e}$
Φαινόμενο δύρος κορεσμένου έδαφους (με άνωση)		$\gamma = \gamma_{sat} - \gamma_w = \gamma_d - (I-n) \gamma_w = \frac{\gamma_s - \gamma_w}{I+e} = \gamma_d \left( I - \frac{\gamma_w}{\gamma_s} \right) \approx 0,60 \gamma_d$

**ΠΙΝΑΚΑΣ ΙΙ.** Τυπολόγιο φυσικών δαφνικών μεγθών.

Μεγέθη	Σημβολικά λατραι	Ορισμοί	Καραμένο ξέδωρος $w_s$	Μή καραμένο ξέδωρος $w$	$n$	$e$	$\gamma$	$\gamma_d$
Περιεκτικός τύπος σε νερό	$w = \frac{P_w}{P_s} = \frac{V_w \gamma_w}{P_s}$	$I^*$	—	—	$w = \frac{(n-n_d) \gamma_w}{(I-n) \gamma_s}$	$w = \frac{e-n_d (I+e)}{\gamma_s} \gamma_w$	$w = \frac{\gamma - \gamma_d}{\gamma_d}$	—
Περιεκτικός τύπος σε νερό και ξέδωρονς	$w_s = \frac{(V_w + V_a) \gamma_w}{P_s}$	$I$	—	—	$w_s = \frac{n \gamma_w}{(I-n) \gamma_s}$	$w_s = \frac{e \gamma_w}{\gamma_s}$	$w_s = \frac{\gamma_w}{(I+w) \gamma_w} - \frac{\gamma_w}{\gamma_s}$	$w_s = \frac{\gamma_w}{\gamma_d} - \frac{\gamma_w}{\gamma_s}$
Ποροδόσες	$n$	$\frac{V_v}{V}$	$I$	$n = \frac{w_s \gamma_s}{w_s \gamma_s + \gamma_w}$	$n = n_w + n_a$	$n = \frac{e}{I+e}$	$n = I - \frac{\gamma}{(I+w) \gamma_s}$	$n = \frac{\gamma_s - \gamma_d}{\gamma_s}$
Δείγμης πόρου	$e$	$\frac{V_v}{V_s}$	$I$	$e = \frac{w_s \gamma_s}{\gamma_w}$	$e = \frac{n}{(I-n)}$	—	$e = \frac{\gamma_s (I+w)}{\gamma} / I$	$e = \frac{\gamma_s - \gamma_d}{\gamma_d}$
Φυσικόμενο θερός ξέδωρος	$\gamma = \frac{P_s + P_w}{V = V_s + V_w + V_a}$	$t/m^3$	$\gamma = \frac{(I+w_s) \gamma_s + \gamma_w}{w_s \gamma_s + \gamma_w}$	$\gamma = \frac{(I-n_a) (I+w) \gamma_s + \gamma_w}{w_s \gamma_s + \gamma_w}$	$\gamma = (I-n) \gamma_s + n_w \gamma_w$	—	—	$\gamma = \gamma_d (1+w)$
Φυσ. θερός ξηρού ξέδωρος	$\gamma_d = \frac{P_s}{V_s + V_w + V_a}$	$t/m^3$	$\gamma_d = \frac{\gamma_s \gamma_w}{w_s \gamma_s + \gamma_w}$	$\gamma_d = \frac{(I-n_a) \gamma_s + \gamma_w}{n \gamma_s + \gamma_w}$	$\gamma_d = (I-n) \gamma_s$	$\gamma_d = \frac{\gamma_s}{I+e}$	$\gamma_d = \frac{\gamma}{I+w}$	—
Ποροδόσες άσφαλτος	$n_a$	$\frac{V_a}{V}$	$I$	$n_a = 0$	—	—	$n_a = \frac{(w \gamma_s + \gamma_w) \gamma}{(I+w) \gamma_s}$	$n_a = \frac{w \gamma_d - \gamma_d}{w \gamma_w - \gamma_s}$
Ποροδόσες νερού	$n_w$	$\frac{V_w}{V}$	$I$	$n_w = n$	$n_w = w \frac{\gamma_d}{\gamma_w}$	—	$n_w = \frac{\gamma_w}{(I+e) \gamma_w}$	$n_w = \frac{w \gamma_d}{w \gamma_w}$
Βαθμος καρεκτικού	$S_r$	$\frac{w}{w_s}$	$I$	$S_r = I$	$S_r = \frac{w \gamma_s (I-n)}{n \gamma_w}$	$S_r = \frac{n_w}{n}$	—	—

\* 1 : άδιάστατα μεγέθη.

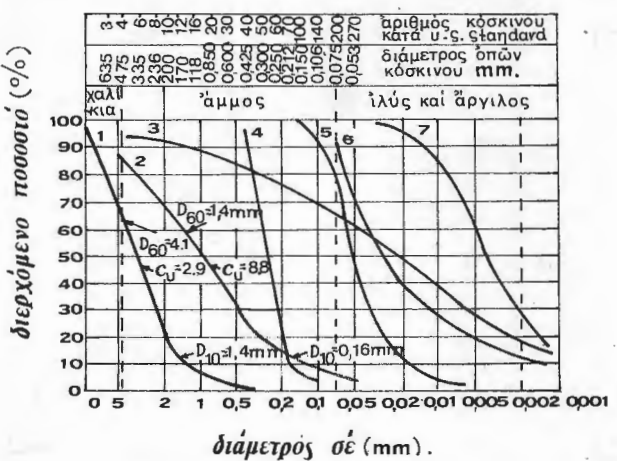
*ΠΙΝΑΚΑΣ III. Φαινόμενο βάρος γ τῶν κυριωτέρων ἐδαφῶν*

"Αμμος	1,8	$t/m^3$	η	$gr/cm^3$
'Ιλύς	1,8	»	»	»
"Αργιλος	1,7÷1,9	»	»	»
Μάργα	2,2	»	»	»
Τύρφη	1,5	»	»	»

### 1.3 Κοκκομετρική σύνθεση - "Oria Atterberg

Οι ιδιότητες (άντοχή σε διάτμηση, διαπερατότητα κλπ.) τῶν χονδρόκοκκων ἐδαφῶν ἔξαρτωνται ἀπό τὴν ποσοστιαία ἀναλογία τῶν στερεών κόκκων σὲ σχέση μὲ τίς διαστάσεις τους.

Ἡ κοκκομετρική σύνθεση παριστάνεται μὲ τὴν κοκκομετρική καμπύλη πού παρουσιάζεται σὲ ἡμιλογαριθμική μορφή, δπως στό σχῆμα 1.1. Στόν ἄξονα τῶν τετμημένων δίνονται οἱ λογάριθμοι τῶν διαστάσεων τῶν κόκκων  $d$  καὶ στόν ἄξονα τῶν τεταγμένων τά ποσοστά σὲ βάρος τῶν κόκκων πού ἔχουν διαστάσεις μικρότερες ἀπό  $d$ .

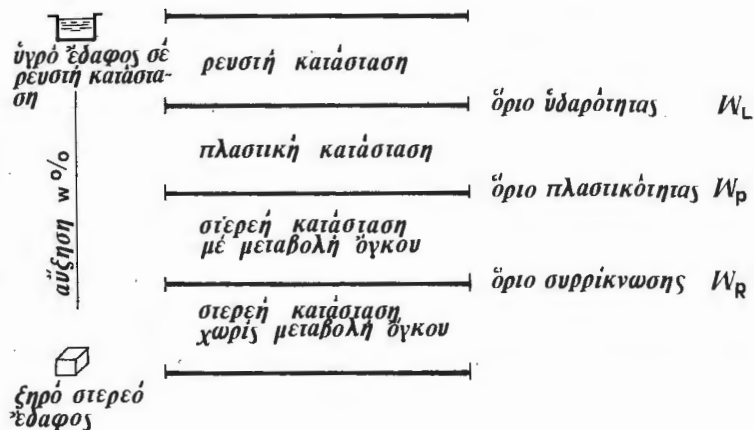


Σχῆμα 1.1. Κοκκομετρικές καμπύλες διαφόρων τύπων ἐδάφους.

- (1), (2) : Χαλίκια, (3) : Till, εἶδος παγετώδους ἐδάφους, (4) : Αμμος,  
 (5) : Λεπτόκοκκο ὁμοιόμορφο ἐδαφος παγετώδους προέλευσης, (6) : Αργιλώδης ίλύς,  
 (7) : Ίλυνώδης ἄργιλος.

Γιά τά λεπτόκοκκα έδαφη τά χαρακτηριστότερα φυσικά μεγέθη είναι τά δρια του *Atterberg* πού είναι τά έξής:

- δριο ύδαρότητας  $W_L$
- δριο πλαστικότητας  $W_P$
- δριο συρρίκνωσης  $W_R$



Σχήμα 1.2

### Όρισμοί

$$\text{Δείκτης πλαστικότητας } PI \text{ ή } IP = W_L - W_P$$

$$\text{Δείκτης ύδαρότητας } LI \text{ ή } IL = \frac{W_L - W_P}{IP} \quad \frac{W_L - W_P}{IP}$$

$$\text{Δείκτης άντιστασης } I_C = I - IL$$

$$\text{Ένεργότητα έδαφους} = \frac{IP}{\text{ποσοστό άργιλου του έδαφους \%}}$$

### ΠΙΝΑΚΑΣ IV : Χαρακτηρισμός τής πλαστικότητας του έδαφους

Τιμή δείκτη πλαστικότητας $IP$	$0 \div 5$	$5 \div 15$	$15 \div 40$	$> 40$
Βαθμός πλαστικότητας	"Έδαφος δχι πλαστικό	"Έδαφος λίγο πλαστικό	"Έδαφος πλαστικό	"Έδαφος πολύ πλαστικό

*ΠΙΝΑΚΑΣ V : Χαρακτηρισμός τοῦ βαθμοῦ ἐνεργότητας τοῦ ἐδάφους*

Ἐνεργότητα	0,75	0,75 ÷ 1,25	1,25
Χαρακτηρισμός τοῦ ἐδάφους	Μή ἐνεργό	Κανονικό	Ἐνεργό

*ΠΙΝΑΚΑΣ VI : Χαρακτηριστικές τιμές ὀρίων Atterberg.*

Ἐδαφος	$w_L$	$w_P$	IP
"Αμμος	—	—	0
"Αμμος κάπως συνεκτική	10 ÷ 20	5 ÷ 20	0 ÷ 5
<i>Loess</i>	23 ÷ 28	20 ÷ 23	2 ÷ 8
'Ιλύς	15 ÷ 35	10 ÷ 25	5 ÷ 15
"Αργιλος ἀμμώδης	25 ÷ 40	15 ÷ 20	5 ÷ 20
"Αργιλος	40 ÷ 150	20 ÷ 50	15 ÷ 95
'Οργανικά ἐδάφη	> 200	> 100	~ 100

## ΑΣΚΗΣΕΙΣ

1.1. Ένα δεῖγμα μαλακῆς ἀργίλου κορεσμένης, ἔχει περιεκτικότητα σε νερό  $w = 42\%$  καὶ φαινόμενο βάρος στερεῶν συστατικῶν  $\gamma_s = 2,70 \text{ gr/cm}^3$ . Νά ύπολογιστοῦν: α) ὁ δείκτης πόρων  $e$ , β) τὸ ποροδέες  $n$ , γ) τὸ φαινόμενο βάρος  $\gamma$ . Τό  $\gamma_w$  λαμβάνεται  $1,00 \text{ gr/cm}^3$ .

### ΛΥΣΗ

α) Ἀπό τὸν πίνακα I ἔχουμε γιά τὴν περίπτωση κορεσμένου ἐδάφους:

$$w = e - \frac{\gamma_w}{\gamma_s} \Rightarrow e = w + \frac{\gamma_s}{\gamma_w} = 0,42 + \frac{2,70}{1,00} = 1,13.$$

$$\beta) \text{ Ἀπό τὸν πίνακα II: } n = \frac{e}{1+e} \Rightarrow n = \frac{1,13}{1+1,13} = 0,53.$$

γ) Ἀπό τὸν πίνακα I γιά κορεσμένο ἐδαφος:

$$\gamma = \frac{w+1}{w + \frac{1}{\gamma_s}} = \frac{0,42 + 1}{0,42 + \frac{1}{2,70}} = \frac{1,42}{0,79} = 1,80 \text{ gr/cm}^3.$$

1.2 Όγκος άργιλικού δείγματος μετρήθηκε μέ εμβάπτιση σε ύδραργυρο και θρέθηκε  $V = 12,28 \text{ cm}^3$ . Τό θάρος του σε κατάσταση φυσικής ύγρασίας ήταν  $P = 23,60 \text{ gr}$  και μετά τήν ξήρανση  $P_s = 20,20 \text{ gr}$ . Νά υπολογισθοῦν:  
α) διείκτης πόρων  $e$ , β) ο θαθμός κορεσμού  $S_r$ .

Δίνεται τό φαινόμενο θάρος στερεῶν συστατικῶν  $\gamma_s = 2,70 \text{ gr/cm}^3$ .

### ΑΥΣΗ

α) Από τόν πίνακα I έχουμε

$$\begin{aligned} e &= \frac{V_v}{V_s}, & 7,48 \\ \text{ό γκος} \quad V_v &= V - V_s = V - \frac{P_s}{\gamma_s} = 12,28 - \frac{20,20}{2,70} = 4,80 \text{ cm}^3 \\ \text{άρα} \quad e &= \frac{4,80}{7,48} = 0,64. \end{aligned}$$

β) Επίσης άπό τόν ίδιο πίνακα έχουμε:

$$S_r = \frac{\gamma_s \cdot w}{\gamma_w \cdot e}.$$

Η περιεκτικότητα σε νερό

$$\begin{aligned} w &= \frac{P_w}{P_s} = \frac{P - P_s}{P_s} = \frac{23,60 - 20,20}{20,20} = \frac{3,40}{20,20} = 0,168 \\ \text{άρα} \quad S_r &= \frac{2,70 \cdot 0,168}{1,00 \cdot 0,64} = 0,708. \end{aligned}$$

1.3 Οταν είναι γνωστά τά μεγέθη  $\gamma$ ,  $w$ ,  $\gamma_s$ ,  $\gamma_w$ , νά άποδειχθοῦν:

$$\text{α) } \delta\tau i \quad e = \frac{\gamma_s(1+w)}{\gamma} - 1 \quad \beta) \quad \gamma_{sat} = \frac{\gamma_s + \gamma_w \cdot e}{1+e}$$

### ΑΥΣΗ

Από τόν πίνακα I:

$$\begin{aligned} \gamma_s &= \frac{P_s}{V_s} \quad \gamma_d = \frac{P_s}{V} \\ e &= \frac{V_v}{V_s} = \frac{\frac{V_v}{P}}{\frac{V_s}{P} + \frac{P_w}{\gamma_w}} = \frac{\frac{V}{P} - \frac{V_s}{P}}{\frac{P_s}{V_s} + \frac{P_w}{V_s}} = \frac{\frac{I}{\gamma} - \frac{V_s}{P_s + P_w}}{\frac{P_s}{V_s} + \frac{P_w}{P_s}} = \\ &= \frac{\frac{I}{\gamma} - \frac{V_s}{P_s + P_w}}{\frac{P_s}{V_s} + \frac{P_w}{P_s}} \end{aligned}$$

(14)

$$\begin{aligned}
 & \frac{\frac{I}{\gamma} - \frac{I}{\frac{P_s}{V_s} + \frac{P_w}{V_s}}}{\frac{I}{\gamma_s + \gamma_s \cdot \frac{P_w}{P_s}}} = \frac{\frac{I}{\gamma} - \frac{I}{\frac{\gamma_s + \gamma_s \cdot w}{I}}}{\frac{I}{\gamma_s + \gamma_s \cdot w}} = \frac{\frac{I}{\gamma} - \frac{I}{\frac{\gamma_s(1+w)}{I}}}{\frac{I}{\gamma_s(1+w)}} = \frac{\frac{\gamma_s(1+w) - \gamma}{\gamma \cdot \gamma_s(1+w)}}{\frac{I}{\gamma_s(1+w)}} = \\
 & = \frac{\frac{\gamma_s(1+w) - \gamma}{\gamma}}{\frac{\gamma_s(1+w)}{\gamma}} = \frac{\gamma_s(1+w)}{\gamma} - 1.
 \end{aligned}$$

β) Από τόν πίνακα I, γιά κορεσμένα έδαφη, έχουμε:

$$\gamma_{sat} = \gamma = \frac{P}{V} = \frac{P_s + P_w}{V_s + V_w} = \frac{\frac{P_s P_w}{V_s}}{\frac{V_s + V_w}{V_s}} = \frac{\frac{P_s}{V_s} + \frac{P_w}{V_s}}{1 + \frac{V_w}{V_s}} = \frac{\gamma_s + \gamma_s \cdot w}{1 + e}$$

1.4 Τό φυσικό έδαφος ένός λατομείου έχει τίς παρακάτω ιδιότητες: περιεκτικότητα σέ νερό  $w = 12\%$ , δείκτης πόρων  $e = 0,54$ , φαινόμενο βάρος στερεῶν συστατικῶν  $\gamma_s = 2,65 \text{ gr/cm}^3$ . Τό έδαφος αὐτό χρησιμοποιεῖται γιά τήν κατασκευή ἀναχώματος πού μετά τήν συμπύκνωση θά έχει ὅγκο  $V = 40.000 \text{ m}^3$ . Τό έδαφος μετά τήν τοποθέτησή του στό ἔργο καί τήν συμπύκνωση έχει φαινόμενο βάρος ξηροῦ έδαφους  $\gamma_d = 1,83 \text{ gr/cm}^3$ . Τό έδαφος μεταφέρεται ἐπί τόπου μέ φορτηγά. Κάθε φορτηγό μεταφέρει βάρος έδαφους  $B = 6,20 \text{ t}$ . Νά ύπολογισθούν:

- a) Ό βαθμός κορεσμοῦ, τά φαινόμενα βάρη  $\gamma_d$  καί  $\gamma$  τοῦ έδαφους στό λατομεῖο.
- β) Πόσα φορτηγά είναι ἀπαραίτητα γιά τή μεταφορά τοῦ έδαφους ἀπό τό λατομεῖο στό χώρο κατασκευῆς τοῦ ἀναχώματος.
- γ) Ό ὅγκος τοῦ σκάματος μετά τήν ἀπομάκρυνση τοῦ έδαφικοῦ ύλικοῦ.

### ΛΥΣΗ

α) Από τόν πίνακα I :

$$S_r = \frac{\gamma_s \cdot w}{\gamma_w \cdot e} = \frac{2,65 \cdot 0,12}{1,00 \cdot 0,54} = 0,56 ,$$

$$\gamma_d = \frac{\gamma_s}{1 + e} = \frac{2,65}{1 + 0,54} = 1,72 \text{ gr/cm}^3 ,$$

$$\gamma = \gamma_d (1+w) = 1,72 \cdot (1+0,12) = 1,93 \text{ gr/cm}^3 .$$

β) Δίνεται ότι μετά τό τέλος τῶν ἐργασιῶν τό ἀνάχωμα θά ἔχει δύκο  $V = 40.000 \text{ m}^3$  (δόγκος αὐτός μετρήθηκε μετά τή συμπύκνωση τοῦ ἀνάχωματος). Από τὸν πίνακα I ἔχουμε:

$$\gamma_d = \frac{P_s}{V} \Rightarrow P_s = \gamma_s \cdot V = 1,83 \cdot 40.000 = 73.200 \text{ t.}$$

Tό  $P_s$  είναι τό βάρος τῶν στερεῶν συστατικῶν τοῦ ἐδάφους. Επίσης ἀπό τὸν πίνακα I ἔχουμε:

$$w = \frac{P_w}{P_s} \quad P_w = \text{τό βάρος τοῦ νεροῦ}$$

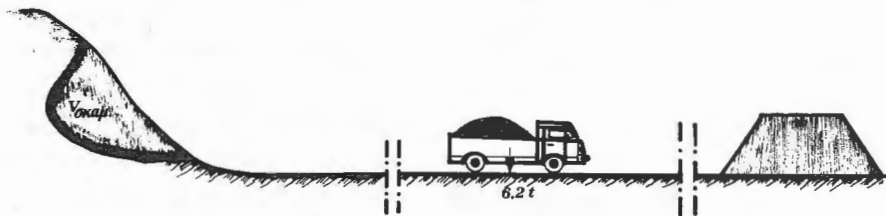
$$P_w = w \cdot P_s = 0,12 \cdot 73.200 = 8.784 \text{ t.}$$

"Αρα τό δλικό βάρος τοῦ ἐδάφους πρίν ἀπό τή συμπύκνωση είναι:

$$P = P_s + P_w = 73.200 + 8784 = 81.984 \text{ t.}$$

Ἐφόσον τό κάθε φορτηγό μεταφέρει ἔδαφος βάρους 6,20 t, ἔχουμε :

$$v \text{ (ἀριθμός φορτηγῶν)} = \frac{81.984}{6,20} = 13.223.$$



Σχῆμα 1.3

γ) Γιά νά θροῦμε τὸν δύκο τοῦ σκάματος στό λατομεῖο ἔχουμε:

$$\gamma = 1,93 \text{ gr/cm}^3.$$

Επίσης ἔχει θρεθεῖ ότι τό συνολικό βάρος τοῦ ἐδάφους είναι  $P = 81.984 \text{ t}$  (πού είναι φανερό ότι είναι τό ἴδιο στήν ἀρχική του θέση στό λατομεῖο καὶ στήν τελική του στό ἀνάχωμα), ἄρα

$$V_{\text{σκάματος}} = \frac{P}{\gamma} = \frac{81.984}{1,93} = 42.478 \text{ m}^3.$$

1.5 Νά ὑπολογισθεῖ τό φαινόμενο βάρος ἐνός ἐδάφους ἐπί τόπου μέ τή μέθοδο τοῦ ἰσοδύναμου ἅμμου. Δίνονται :

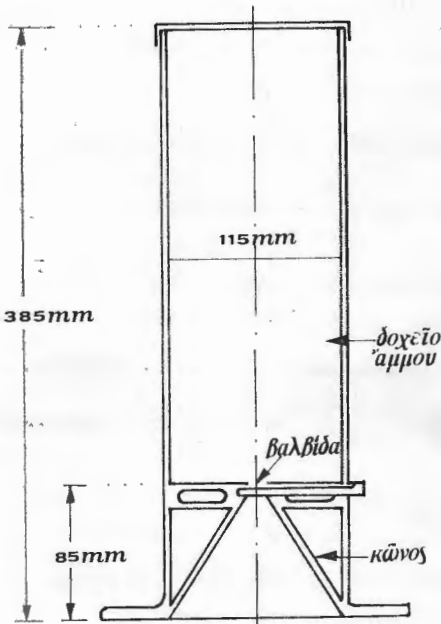
βάρος τοῦ ἐδάφους πού ἐξάγεται ἀπό τήν ὁπή 4,00 kg

περιεκτικότητα σέ νερό	18 %
θάρος ξηρού έδαφους πού γεμίζει τήν δύπη	3,10 kg
» τής ξηρής άμμου πού γεμίζει τό δοχείο δύκου 4,2 lit	5,80 kg
Φαινόμενο θάρος στερεών συστατικών	$\gamma_s = 2,68 \text{ gr/cm}^3$

Νά ύπολογισθεῖ ἐπίσης ὁ βαθμός κορεσμοῦ  $S_r$  τοῦ έδαφους.

### ΛΥΣΗ

Τό φαινόμενο θάρος ἐνός έδαφους ἐπί τόπου πού ἀντιστοιχεῖ στή φυσική ἀδιατάρακτη κατάστασή του ύπολογίζεται μέ τή μέθοδο τοῦ ἰσοδύναμου ἄμμου, μέ τόν ἀκόλουθο τρόπο.



Σχῆμα 1.4. Συσκευή ἰσοδύναμου ἄμμου.

Στήν ἀρχή διανοίγεται μιά δύπη στό έδαφος καὶ δόλο τό έδαφος, πού ἀφαιρεῖται, συγκεντρώνεται καὶ ύπολογίζεται τό θάρος του καὶ ἡ φυσική του υγρασία. Ο δύκος τής δύπης ύπολογίζεται μέ τή βοήθεια ἐνός κυλίνδρου (σχῆμα 1.4).

Τό θάρος τοῦ κυλίνδρου, ὅταν είναι γεμάτος μέ ἄμμο γνωστοῦ φαινόμενου θάρους, μπορεῖ νά μετρηθεῖ. Ο κύλινδρος τοποθετεῖται πάνω ἀπό τήν δύπη καὶ μέ τό ἄνοιγμα τής βαλβίδας, ἡ ἄμμος χύνεται καὶ γεμίζει τήν δύπη καὶ τόν κῶνο τοῦ δοχείου. Ζυγίζοντας τό θάρος τοῦ δοχείου στή συνέχεια μποροῦμε νά ύπολογίσουμε τό θάρος τής ἄμμου, καὶ κατόπιν ἔχουμε:

$$\text{φαινόμενο θάρος ἄμμου} = \frac{P}{V} = \frac{5,80}{4,20 \times 10^{-3}} = 1380 \text{ kg/m}^3$$

$$\text{δύκος δύπης} = \frac{P_{\text{ἄμμου}}}{\gamma_{\text{ἄμμου}}} = \frac{3,10}{1380} = 2,25 \times 10^{-3} \text{ m}^3$$

$$\text{φαινόμενο θάρος έδαφους} = \frac{P_{\text{έδ.}}}{V_{\text{δύπης}}} = \frac{4,00}{2,25 \cdot 10^{-3}} = 1780 \text{ kg/m}^3.$$

Ο βαθμός κορεσμοῦ  $S_r$  δίνεται (πίνακας I):

$$S_r = \frac{\gamma_s w}{\gamma_w w} \quad \text{όπου} \quad e = \frac{\gamma_s (1+w)}{\gamma} - 1$$

άρα

$$e = \frac{2,68 (1+0,18)}{1,78} - 1 = 0,775$$

καὶ

$$S_r = \frac{2,68 \cdot 0,18}{1,00 \cdot 0,775} = \frac{0,48}{0,775} = 0,62.$$

1.6 Τά άποτελέσματα μιᾶς κοκκομετρικῆς ἀνάλυσης μέ κόσκινα δίνονται στόν παρακάτω πίνακα:

Διάμετρος διπής κόσκινου mm	Βάρος πού παραμένει στό κόσκινο (gr)	
	Έδαφος A	Έδαφος B
37,50	0,0	
19,00	26,0	
9,50	31,0	
4,75	11,0	0,0
2,36	18,0	8,0
1,18	24,0	7,0
0,60	21,0	11,0
0,30	41,0	21,0
0,21	32,0	63,0
0,15	16,0	48,0
0,075	15,0	14,0

Η κοκκομετρική ἀνάλυση συνεχίσθηκε γιά τό ίλικό πού πέρασε ἀπό τό κόσκινο N° 200 μέ τή βοήθεια ἀραιόμετρου, πού ἐδωσε τά παρακάτω ἀποτελέσματα :

Μέγεθος κόκκων mm	Βάρος (gr)	
	A	B
0,06 — 0,02	8	2
0,02 — 0,006	4	1
0,006 — 0,002	2	0
< 0,002	1	0

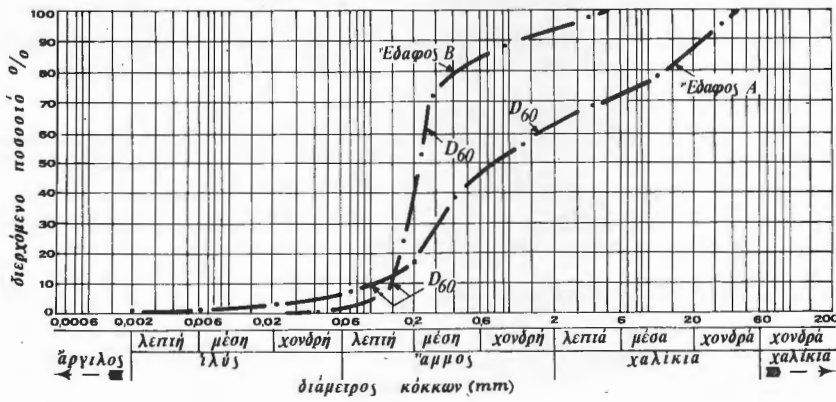
- a) Νά σχεδιασθούν οί κοκκομετρικές καμπύλες τῶν δύο ἐδαφῶν, καὶ  
 β) νά θρεθεῖ ὁ συντελεστής όμοιομορφίας τους Cu.

### ΛΥΣΗ

α) Υπολογίζεται τό ἀρχικό βάρος τοῦ δοκίμου καὶ θρίσκονται τά ποσοστά τῶν κόκκων % πού παραμένουν καὶ διέρχονται ἀπό κάθε κόσκινο, ὅπως φαίνεται στὸν παρακάτω πίνακα:

Διάμετρος ὸπῆς κόσκινου mm	Ἐδαφος Α			Ἐδαφος Β		
	βάρος (gr)	ποσοστό % πού παραμένει	ποσοστό % πού διέρχεται	βάρος (gr)	ποσοστό % πού παραμένει	ποσοστό % πού διέρχεται
37,50	0	0	100,0			
19,00	26	10,4	89,0			
9,50	31	12,4	77,2			
4,75	11	4,4	72,8	0	0	100,0
2,36	18	7,2	65,6	8	4,6	95,4
1,18	24	9,6	56,0	7	4,0	91,4
0,60	21	8,4	47,6	11	6,3	85,1
0,30	41	16,4	31,2	21	12,0	73,1
0,21	32	12,8	18,4	63	36,0	37,1
0,15	16	6,4	12,0	48	27,4	9,7
0,075	15	6,0	6,0	14	8,0	1,7
0,02	8	3,2	2,8	2	1,1	0,6
0,006	4	1,6	1,2	1	0,6	—
0,002	2	0,8	0,4			
<0,002	1	0,4	—			
Σύνολο	250	100,00		175	100,0	

Τά ἀποτελέσματα αὐτά φαίνονται στό σχῆμα 1.5.



Σχῆμα 1.5

β) Ό θαθμός δμοιομορφίας ένός έδάφους μπορεῖ νά χαρακτηρισθεῖ μέ τό συντελεστή δμοιομορφίας του (συντελεστής Hazen), πού δρίζεται από τή σχέση :

$$\text{συντελεστής δμοιομορφίας} \quad Cu = \frac{D_{60}}{D_{10}}$$

δπον:  $D_{60} = \max \text{ διάμετρος κόκκων σέ ποσοστό} < \text{τοῦ } 60\%$ ,

$D_{10} = \max \text{ διάμετρος κόκκων σέ ποσοστό} < \text{τοῦ } 10\%.$

— Γιά τό ̄δαφος Α:

$$D_{10} = 0,10 \text{ mm}, \quad D_{60} = 1,60 \text{ mm} \rightarrow Cu = 16.$$

— Γιά τό ̄δαφος Β:

$$D_{10} = 0,15 \text{ mm}, \quad D_{60} = 0,25 \text{ mm} \rightarrow Cu = 1,67.$$

Έπομένως τό ̄δαφος Α ̄χει καλά διαβαθμισμένη κοκκομετρική καμπύλη ̄νω τό ̄δαφος Β είναι δμοιόμορφο ώς πρός τό μέγεθος τῶν κόκκων.

1.7 "Ενα ̄ργιλώδες ̄δαφος ̄χει δριο ̄δαρότητας  $W_L = 58,60$ , δριο πλαστικότητας  $W_P = 23,10$  καί δείκτη ̄ντιστασης  $I_C = 0,44$ . Νά ύπολογιστοῦν:

α) Ό δείκτης πλαστικότητας  $IP$ .

β) Ό δείκτης ̄δαρότητας  $IL$ .

γ) Ή περιεκτικότητα σέ νερό  $w$ .

### ΑΥΣΗ

α) Ό δείκτης πλαστικότητας  $IP = W_L - W_P$  ἥρα

$$IP = 58,60 - 23,10 = 35,50.$$

Άπό τόν πίνακα IV φαίνεται ̄τι τό ̄δαφος μπορεῖ νά χαρακτηρισθεῖ σάν πλαστικό, γιατί:

$$15 < IP = 35,5 < 40.$$

β) Ό δείκτης ̄δαρότητας προκύπτει από τή σχέση πού δίνει τό δείκτη ̄ντιστασης:

$$I_C = 1,0 - IL \Rightarrow IL = 1,0 - I_C = 1,0 - 0,44 = 0,56.$$

γ) Ή περιεκτικότητα σέ νερό προκύπτει από τόν τύπο πού δίνει τό δείκτη ̄δαρότητας

$$IL = \frac{W_L - w}{IP}$$

$$\text{ἥρα } w = W_L - IL \cdot IP = 58,60 - 0,56 \cdot 35,50 = 38,72 \%.$$

1.8 Άνοι εδάφη έχουν τις παρακάτω ιδιότητες:

	A	B
Όριο ύδαρότητας	0,62	0,34
Όριο πλαστικότητας	0,26	0,19
Περιεκτικότητα σέ νερό	38 %	25 %
Φαίν. βάρος στερεών συστατικών	2,72 gr/cm <sup>3</sup>	2,67 gr/cm <sup>3</sup>
Βαθμός κορεσμού	1	1

Ποιό άπό τά δύο εδάφη: α) περιέχει περισσότερα άργιλικά συστατικά, β) έχει μεγαλύτερο φαινόμενο βάρος γ, γ) έχει μεγαλύτερο ξηρό φαινόμενο βάρος  $\gamma_d$  και δ) έχει μεγαλύτερο δείκτη πόρων ε.

#### ΑΥΣΗ

α) Ή ποσότητα τῶν άργιλικῶν συστατικῶν ένός εδάφους είναι σέ γενικές γραμμές άναλογη μέ τήν τιμή τοῦ δείκτη πλαστικότητας  $IP$ , ἄρα

$$\begin{aligned} \text{— έδαφος A: } & IP = W_L - W_P = 0,62 - 0,26 = 0,36 \\ \text{— έδαφος B: } & IP = W_L - W_P = 0,34 - 0,19 = 0,15 \end{aligned}$$

Άρα τό έδαφος Α περιέχει περισσότερα άργιλικά συστατικά.

β) Από τόν πίνακα I γιά κορεσμένα έδαφη έχουμε:

$$\begin{aligned} \gamma &= \frac{w + 1}{w + \frac{1}{\gamma_s}} \\ \text{— Έδαφος A: } & \gamma = \frac{0,38 + 1}{0,38 + \frac{1}{2,72}} = \frac{1,38}{0,75} = 1,85 \text{ gr/cm}^3 \end{aligned}$$

$$\text{— Έδαφος B: } \gamma = \frac{0,25 + 1}{0,25 + \frac{1}{2,67}} = \frac{1,25}{0,62} = 2,02 \text{ gr/cm}^3.$$

Άρα τό έδαφος Β έχει τό μεγαλύτερο φαινόμενο βάρος.

γ) Από τόν πίνακα I:

$$\gamma_d = \frac{\gamma}{1+w}$$

$$\text{— Έδαφος A: } \gamma_d = \frac{1,85}{1+0,38} = 1,34 \text{ gr/cm}^3$$

$$\text{—} \text{Έδαφος Β: } \gamma_d = \frac{2,02}{1 + 0,25} = 1,62 \text{ gr/cm}^3.$$

"Αρα τό έδαφος Β έχει έπισης και τό μεγαλύτερο ξηρό φαινόμενο βάρος.

δ) Άπο τόν πίνακα I (γιά κορεσμένα έδάφη)

$$e = \frac{\gamma_d}{\gamma_w} \cdot w .$$

$$\text{—} \text{Έδαφος Α: } e = \frac{2,72}{1,00} \cdot 0,38 = 1,03$$

$$\text{—} \text{Έδαφος Β: } e = \frac{2,67}{1,00} \cdot 0,25 = 0,67$$

"Αρα τό έδαφος Α έχει τό μεγαλύτερο δείκτη πόρων  $e$ .

### 1.3 Συστήματα ταξινόμησης

Η άναγκη ταξινόμησης τών έδαφών ύπαγορεύεται άπό τούς παρακάτω λόγους:

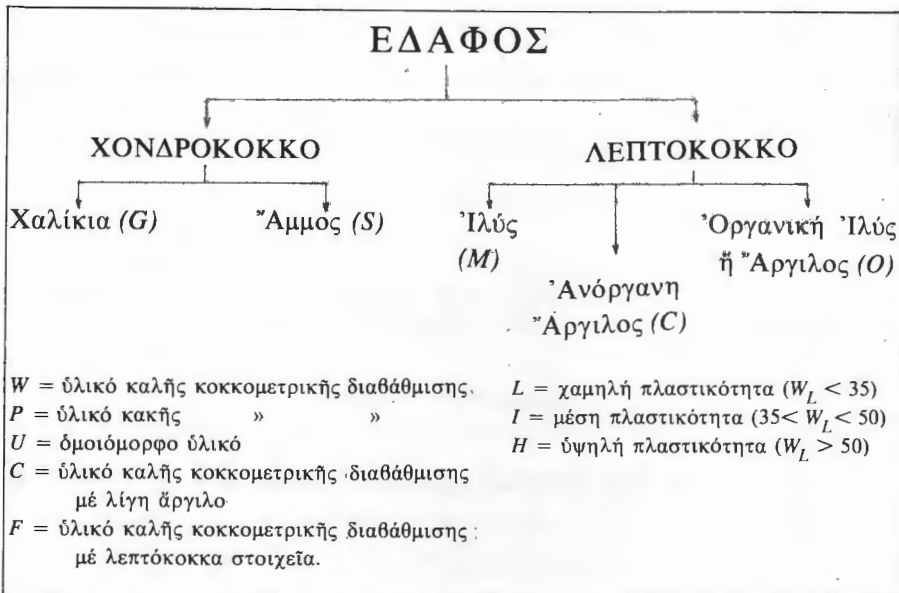
- Γιά δρισμένα μεγάλα τεχνικά έργα, δπως έργα δδοποιίας, κατασκευή αεροδρομίων κλπ., τά έδαφοτεχνικά στοιχεία δέν είναι άπαραίτητο νά λαμβάνονται άπό πλήρη έδαφοτεχνική έρευνα, πού είναι πολυδάπανη και ίσως περιττή, γιατί ένδεχόμενες ζημιές μπορούν νά διορθωθούν μέ τρόπο σχετικά άπλό.
- Σέ δσες περιπτώσεις είναι άπαραίτητη μιά δλοκληρωμένη έδαφοτεχνική έρευνα, ή ταξινόμηση έπιτρέπει τό γενικό χαρακτηρισμό τού έδαφους και καθορίζει ποιές δοκιμές θά γίνουν στή συνέχεια.

Υπάρχουν πολλά συστήματα ταξινόμησης τών έδαφών πού βασίζονται στήν κοκκομετρική άναλυση και τά δρια τού Atterberg.

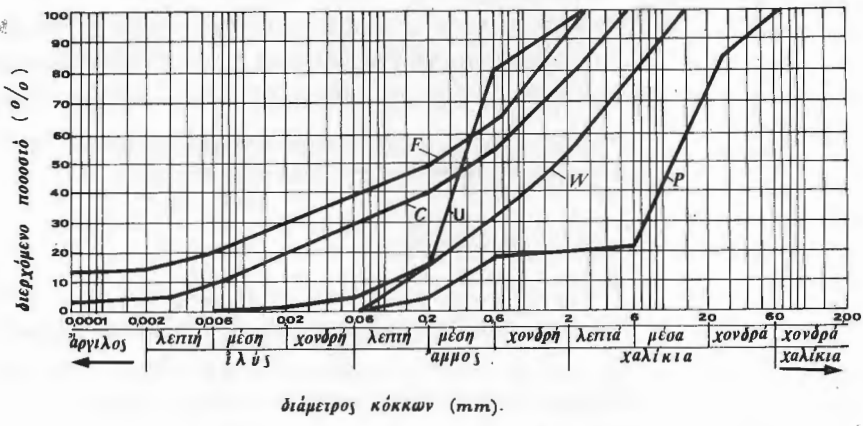
*Tαξινόμηση έδαφών κατά Casagrande*

Στό σύστημα ταξινόμησης τού Casagrande τό έδαφος πού μελετάται, χαρακτηρίζεται μέ δύο γράμματα: τό πρώτο δίνεται μέ βάση τό έδαφικο κλάσμα πού κυριαρχεῖ ένω τό δεύτερο μέ βάση τίς μηχανικές ίδιοτητες. Οι συμβολισμοί τού Casagrande δίνονται στόν παρακάτω πίνακα:

PINAKAΣ VII

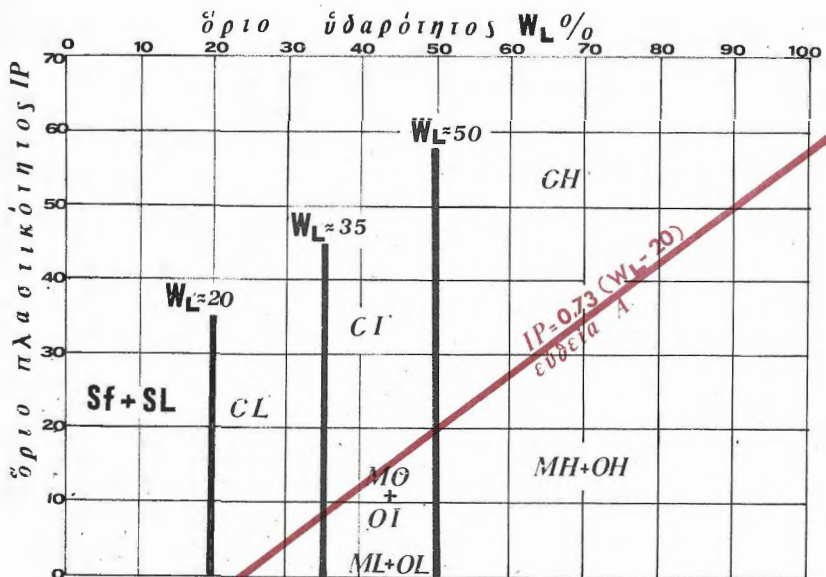


Γιά νά χαρακτηρίσουμε τό έδαφος κατά *Casagrande* δίνουμε τό πρῶτο γράμμα ἀνάλογα μέ τόν τύπο τοῦ έδαφους, π.χ. ἄμμος, ἄργιλος κλπ. Τό πρῶτο γράμμα ἐπομένως εἶναι ἔνα ἀπό τά *G, S, M, C, O*, δπως δρίζονται καὶ στόν πίνακα *VII*. Κατόπιν τό δεύτερο γράμμα εἶναι ἔνα ἀπό τά *W, P, U, C, F, L, I, H*. Αὐτό γιά ἔνα χονδρόκοκκο έδαφος γίνεται μέ σύγκριση τῆς κοκκομετρικῆς του καμπύλης μέ τίς πρότυπες κοκκομετρικές καμπύλες, δπως π.χ. στό σχῆμα 1.6.



*Σχήμα 1.6. Τυπικές κοκκομετρικές καμπύλες.*

Αντίθετα γιά νά χαρακτηρίσουμε ἓνα λεπτόκοκκο ἔδαφος, χρησιμοιοῦμε τό διάγραμμα πλαστικότητας τοῦ Casagrande (σχῆμα 1.7).



Σχῆμα 1.7. Διάγραμμα πλαστικότητας κατά Casagrande.

Η εύθεια Α δονομάζεται εύθεια τοῦ Casagrande καὶ ἔχει ἔξισωση  $IP = 0,73(W_L - 20)$ . Μέ τή βοήθεια τῆς εύθειας αὐτῆς καὶ τῶν εύθειῶν  $W_L = 20$ ,  $W_L = 35$  καὶ  $W_L = 50$ , τοποθετοῦνται στό διάγραμμα πλαστικότητας Casagrande οἱ διάφοροι τύποι ἔδαφων, ἀνάλογα μέ τίς ἴδιότητές τους.

**Παράδειγμα :** Γιά  $W_L > 50$  καὶ  $IP$  πάνω ἀπό τήν εύθεια Α ἔνα ἔδαφος χαρακτηρίζεται μέ τό  $CH$  (σχῆμα 1.7), δηλ. πρόκειται γιά ἀργιλικό ἔδαφος ( $C$ ), ὑψηλῆς πλαστικότητας ( $H$ ).

## AΣΚΗΣΗ

1.9 Γιά νά διαπιστώσουμε τή φύση τοῦ ἔδαφους γιά τήν κατασκευή ἐνός κτιρίου, κάγουμε γεώτρηση βάθους μέχρι 25 m. Από τή γεώτρηση διαπιστώθηκε ὅτι τό ὑπέδαφος ἀποτελεῖται ἀπό ἓνα ἐπιφανειακό γαιῶδες στρῶμα πάχους 0,80 m καὶ ἀπό τέσσερα ἔδαφικά στρώματα πού τά χαρακτηριστικά τους δίνονται στήν παρακάτω γεωλογική τομή. Ζητεῖται νά γίνει ἡ κατάταξη τῶν ἔδαφικῶν στρώμάτων κατά Casagrande.

ΑΠΟΤΕΛΕΣΜΑΤΑ ΓΕΩΤΕΧΝΙΚΗΣ ΕΡΕΥΝΑΣ ΓΕΩΤΡΗΣΗΣ

## ΛΥΣΗ

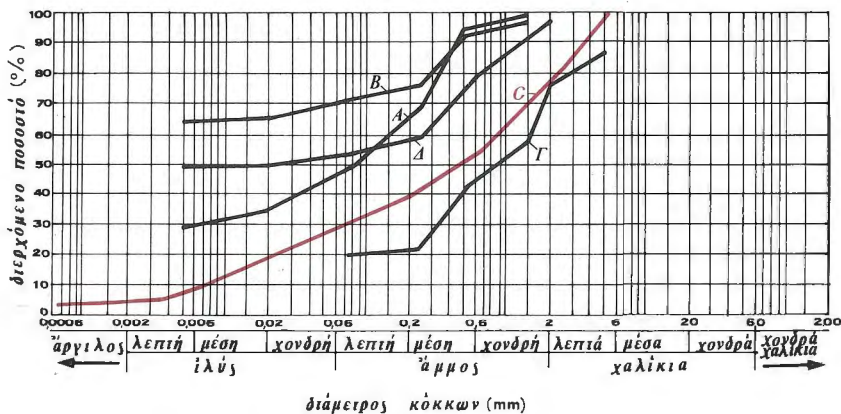
Μέ βάση τά άποτελέσματα τής γεωτεχνικής έρευνας γεώτρησης, μπορούμε νά χαράξουμε τίς κακκομετρικές καμπύλες τῶν ἔδαφων.

"Οπως φαίνεται ἀπό τό σχῆμα 1.8, τό ἔδαφος Α είναι λεπτόκοκκο (τό ποσοστό κόκκων  $< 0.2 \text{ mm}$  είναι 69%). Γιά τήν κατάταξή του ἐπομένως χρησιμοποιούμε τό διάγραμμα τοῦ Casagrande (σχῆμα 1.7).

$$\text{"Οριο ύδαρότητας} \quad W_L = 34\%$$

$$\text{Δείκτης πλαστικότητας} \quad IP = 34 - 13 = 21$$

"Αρα τό ἔδαφος είναι ἄργιλος λίγο πλαστική (CL).



Σχῆμα 1.8

Τό ἔδαφος Β είναι ἐπίσης λεπτόκοκκο, μέ  $W_L = 61\%$  καί  $IP = 61 - 25 = 36$ , ἀρα είναι ἄργιλος ύψηλῆς πλαστικότητας (CH).

Τό ἔδαφος Γ είναι χονδρόκοκκο ύλικό (τό ποσοστό κόκκων  $< 0.2 \text{ mm}$  είναι 20% καί  $W_L = 0$ ,  $IP = 0$ ). Ή κακκομετρική του καμπύλη συγκρινόμενη μέ τίς τυπικές κοκκομετρικές καμπύλες (σχ. 1.6), μοιάζει μέ τήν καμπύλη C πού ἀντιστοιχεῖ σέ ἄμμο μέ ἄργιλο (SC).

Τέλος τό ἔδαφος Δ είναι ἐπίσης λεπτόκοκκο μέ  $W_L = 60\%$  καί  $IP = 60 - 50 = 10$ , ἀρα είναι ἐλαστική ἰλύς (MH).

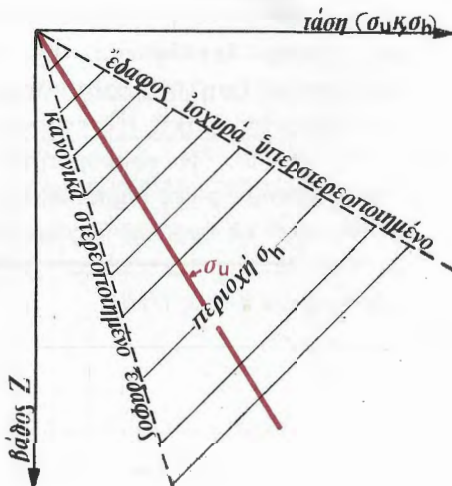
**ΕΝΕΡΓΟΣ ΚΑΙ ΟΥΔΕΤΕΡΗ ΤΑΣΗ - ΔΙΑΠΕΡΑΤΟΤΗΤΑ**

Η έντατική κατάσταση στό ̄δαφος δημιουργεῖται από τό ̄διο βάρος του και από ̄ξωτερικά φορτία πού ̄φαρμόζονται στήν ̄λευθερη ̄πιφάνειά του (π.χ. ̄πιφανειακές θεμελιώσεις) ή και μέσα σ' αύτό (π.χ. σήραγγες). Στό κεφάλαιο αύτό θά ̄σχοληθοῦμε μέ τίς τάσεις τοῦ ̄δάφους λόγω ̄διου βάρους πού ̄νομάζονται ̄πίσης και γεωστατικές τάσεις ή τάσεις σέ ̄ηρεμία.

**2.1 Κατακόρυφες γεωστατικές τάσεις (τάσεις σέ ̄ηρεμία)**

Οι κατακόρυφες γεωστατικές τάσεις σέ κάθε βάθος υπολογίζονται από τό βάρος τοῦ ̄περκείμενου ̄δάφους, ̄πειδή δέν ̄ναπτύσσονται, στήν περίπτωση αύτή, διατμητικές τάσεις μεταξύ δριζόντιων και κατακόρυφων ̄πιπέδων.

Οι κατακόρυφες γεωστατικές τάσεις μεταβάλλονται γραμμικά μέ τό βάθος.



Σχήμα 2.1

## 2.2 Όριζόντιες γεωστατικές τάσεις (τάσεις σέ ήρεμία)

Οι οριζόντιες γεωστατικές τάσεις υπολογίζονται άπό τις κατακόρυφες μέ τόν τύπο

$$\sigma_h = \sigma_v \cdot k_0 , \quad (2.1)$$

όπου

$\sigma_h$  = οι οριζόντιες γεωστατικές τάσεις,

$\sigma_v$  = οι κατακόρυφες γεωστατικές τάσεις,

$k_0$  = συντελεστής πλευρικών ώθησεων σέ ήρεμία, πού ή τιμή του έξαρταται άπό τή φύση τοῦ έδαφους και δέν μπορεῖ νά υπολογιστεῖ μέ ακρίβεια. Συνήθως  $k_0 = 0,50$ . Μποροῦν έπισης νά χρησιμοποιηθοῦν οι παρακάτω τύποι:

$$k_0 = 1 - \sin \varphi' \quad JAKY (1944)$$

$$k_0 = \frac{v}{1-v} \quad TERZAGHI (1943)$$

$$k_0 = 0,19 + 0,233 \log IP \quad KENNEY (1959)$$

όπου  $\varphi'$  = ή γωνία έσωτερικής τριθής τοῦ έδαφους,

$v$  = δ συντελεστής Poisson τοῦ έδαφους,

$IP$  = δείκτης πλαστικότητας τοῦ έδαφους.

## 2.3 Ένεργός και ουδέτερη τάση

Οι δυνάμεις πού ένεργούν σέ μία κορεσμένη έδαφική μάζα, χωρίζονται:

- σέ έκεινες πού μεταδίδονται άπευθείας άπό κόκκο σέ κόκκο, και
- σέ κείνες πού δροῦν μέσω τοῦ ρευστοῦ πού γεμίζει τά κενά τῶν κόκκων.

Οι πρώτες δύναμές ονται ένεργοί τάσεις (τάσεις μεταξύ τῶν κόκκων) και οι δεύτερες τάσεις τοῦ νεροῦ τῶν πόρων ή ουδέτερες τάσεις. Ή διάκριση αυτή είναι σημαντική γιατί μόνο άπό τις ένεργούς τάσεις έξαρτάται ή διατμητική άντοχή και οι παραμορφώσεις τοῦ έδαφους.

Γενικά οι δύο τύποι τῶν τάσεων μποροῦν νά άποδοθοῦν σχηματικά δπως φαίνεται άπό τά σχήματα 2.2 και 2.3 :

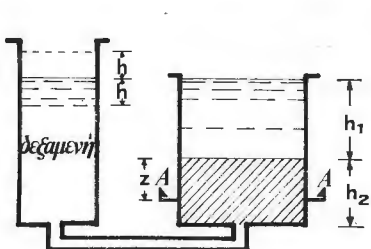
Θεωροῦμε δτι έχουμε ένα δοχείο γεμάτο μέχρι τό ύψος  $h_2$  μέ ένα κοκκώδες ύλικό και μέχρι τό ύψος  $h_2 + h_1$  μέ νερό. Στόν πυθμένα τοῦ δοχείου τοποθετεῖται ένας σωλήνας πού συνδέεται μέ μιά δεξαμενή, δπου τό νερό θρίσκεται στήν ΐδια στάθμη μέ τό νερό τοῦ δοχείου πού περιέχει

τό κοκκώδες ύλικό. Δέν ύπάρχει έπομένως καμμία ροή του νερού. Στήν τομή A-A, στό βάθος  $h_1 + z$  ή κατακόρυφη τάση δίνεται από τή σχέση:

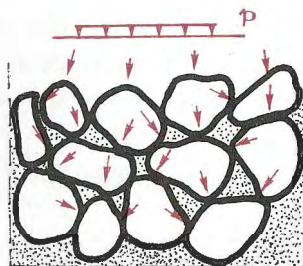
$$\sigma = h_1 \cdot \gamma_w + z \cdot \gamma_{sat},$$

όπου  $\gamma_w$  = τό φαινόμενο βάρος του νερού και

$\gamma_{sat}$  = τό φαινόμενο βάρος του κορεσμένου έδαφους.



Σχήμα 2.2



Σχήμα 2.3

Απεικόνιση μετάδοσης των ένεργων ωθήσεων σ'.

Έπειδή ή τάση  $\sigma$  έξαρταται από τό βάρος δλόκληρου του ύπερκείμενου ύλικοδ, δνομάζεται όλικη τάση. Ο Terzaghi άπεδειξε πειραματικά ότι ή όλική τάση  $\sigma$  συνδέεται μέ τήν ένεργο τάση  $\sigma'$  και μέ τήν ουδέτερη τάση  $u$  μέ τήν παρακάτω σχέση:

$$\sigma = \sigma' + u \quad (2.2)$$

Η τάση του νερού των πόρων στήν τομή A-A είναι:

$$u = h_1 \gamma_w + z \gamma_{sat} = (h_1 + z) \gamma_w$$

Η ένεργος τάση προκύπτει

$$\begin{aligned} \sigma' &= \sigma - u = (h_1 \gamma_w + z \gamma_{sat}) - (h_1 \gamma_w + z \gamma_w) = \\ &= z (\gamma_{sat} - \gamma_w). \end{aligned}$$

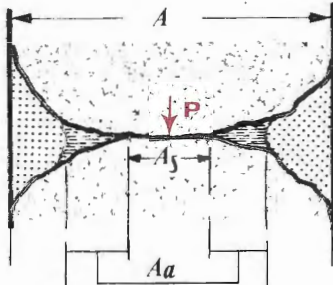
Ο δρος  $(\gamma_{sat} - \gamma_w)$  δνομάζεται φαινόμενο βάρος θυθισμένου έδαφους και συμβολίζεται μέ  $\gamma'$ . Αρα

$$\sigma' = z \gamma'.$$

Μιά φυσική άπεικόνιση τής ένεργού πίεσης έδωσε δ *Skempton*, πού παριστάνεται σχηματικά στό σχήμα 2.4:

Θεωρούμε δύο κόκκους ύμμου σέ έπαφή. "Εστω  $A$  τό δλικό έμβαδό του έδαφους. Η έπιφάνεια έπαφής των έδαφικών κόκκων είναι  $A_s$  και οι έπιφάνειες έπαφής έδαφους - νερού και έδαφους - άέρα είναι αντίστοιχα  $A_a$  και  $A_g$ . "Εστω έπισης δτι οι τάσεις πού παρουσιάζονται λόγω φορτίου  $P$  είναι  $\sigma_s$ ,  $\sigma_a$  και  $\sigma_g$  γιά τό έδαφος, τό νερό και τόν άέρα αντίστοιχα.

Η ίσορροπία των κατακόρυφων δυνάμεων στήν έπιφάνεια  $A$  δίνεται από τή σχέση:



$$P = \sigma_s A_s + \sigma_a A_a + \sigma_g A_g \quad (2.3)$$

Σχήμα 2.4

Διαιρώντας τή σχέση (2.3) μέ  $A$  έχουμε :

$$\frac{P}{A} = \sigma = a \sigma_s + x \sigma_a + (1-x-a) \sigma_g \quad (2.4)$$

όπου  $\sigma$  = ή δλική τάση και  $a$ ,  $x$ ,  $(1-x-a)$  οι λόγοι των έμβαδων του έδαφους, του νερού και του άέρα πρός τό δλικό έμβαδο. Δηλ. είναι

$$a = \frac{A_s}{A}, \quad x = \frac{A_a}{A}, \quad 1-x-a = \frac{A_g}{A}$$

Η σχέση (2.4) μπορεῖ νά γραφεῖ:

$$\begin{aligned} \sigma &= a \sigma_s + \sigma_a - \sigma_a - \sigma_a + x \sigma_a + (1-x-a) \sigma_g = \\ &= a \sigma_s + (1-a) \sigma_a - (1-a-x) \sigma_a + (1-a-x) \sigma_g = \\ &= a \sigma_s + (1-a) \sigma_a + (1-a-x) (\sigma_g - \sigma_a) \end{aligned} \quad (2.5)$$

"Οταν τό έδαφος είναι κορεσμένο έχουμε

$$\frac{A_g}{A} = 0,$$

δηλ.  $1-a-x = 0$ , δπότε :

$$\sigma = a \sigma_s + (1-a) \sigma_a . \quad (2.6)$$

Στά έδάφη, γιά τίς συνθήκες πού μᾶς ένδιαφέρουν στά προθλήματά μας, δ λόγος  $a = \frac{A_s}{A}$  είναι πολύ μικρός, δύπτε στή σχέση (2.6) δ δρος  $(1-a)$  είναι πρακτικά ίσος μέ τή μονάδα.

Η τάση  $\sigma_s$ , δηλ. ή τάση μεταξύ τῶν στερεῶν κόκκων είναι πολύ μεγάλη καί σχεδόν ίση μέ τό φορτίο θραύσης τοῦ έδαφικοῦ ύλικοῦ, δύπτε δ δρος  $a \sigma_s$  δέν μηδενίζεται ἀλλά ἀντιπροσωπεύει τήν ένεργο τάση  $\sigma'$  καί ἔχουμε  $1-a \approx 1$ , ἄρα

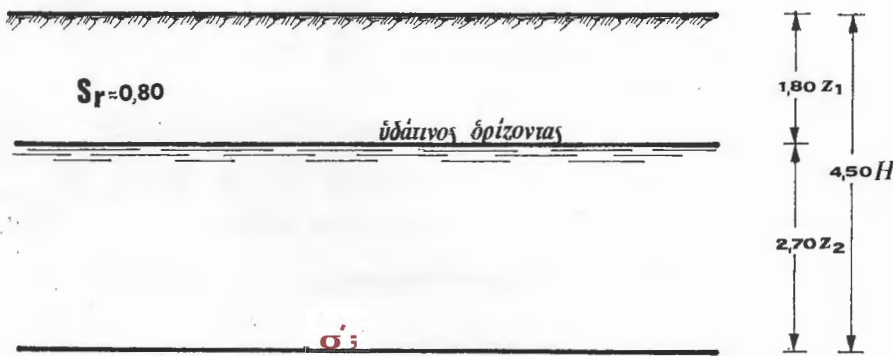
$$\sigma = \sigma' + (1-a) \sigma_a = \sigma' + u , \quad (2.7)$$

δηλ. τήν πειραματική σχέση (2.2) τοῦ Terzaghi.

## AΣΚΗΣΕΙΣ

2.1 Σέ ἀμμώδες στρῶμα μεγάλου πάχους μέ δείκτη πόρων  $e = 0,65$  καί φαινόμενο βάρος στερεῶν συστατικῶν  $\gamma_s = 2,60 \text{ gr/cm}^3$ , ή στάθμη τοῦ ύπογειού νεροῦ βρίσκεται σέ βάθος  $1,80 \text{ m}$  ἀπό τήν ἐλεύθερη ἐπιφάνεια τοῦ έδαφους. Μέχρι τό βάθος αὐτό ή ἄμμος είναι διαθρεγμένη, μέ βαθμό κορεσμοῦ  $S_r = 0,80$ . Νά ύπολογιστεῖ ή ένεργός τάση σέ βάθος  $H = 4,5 \text{ m}$  ἀπό τήν ἐλεύθερη ἐπιφάνεια τοῦ έδαφους.

ΛΥΣΗ



Σχῆμα 2.5

Τό έδαφος πάνω από τόν ύδατινο δρίζοντα (λόγω τριχοειδῶν ἀνυψώσεων) βρίσκεται σέ κατάσταση μερικοῦ κορεσμοῦ. Έπομένως:

$$\sigma' = \sigma_1 = \gamma z_1$$

Τό φαινόμενο βάρος  $\gamma$  δίνεται από τόν πίνακα I, κεφ. 1:

$$\gamma = \frac{S_r \gamma_w \gamma_s (1+w)}{S_r \gamma_w + \gamma_s w}.$$

Η περιεκτικότητα σέ νερό

$$w = S_r e^{\frac{\gamma_w}{\gamma_s}} = 0,80 \cdot 0,65 \cdot \frac{1,00}{2,60} = 0,20$$

ἄρα

$$\gamma = \frac{0,80 \cdot 1,00 \cdot 2,60 (1+0,20)}{0,80 \cdot 1,00 + 2,60 \cdot 0,20} = \frac{2,496}{1,32} = 1,89 \text{ t/m}^3,$$

όπότε ή ένεργος τάση:

$$\sigma_1' = 1,89 \cdot 1,80 = 3,402 \text{ t/m}^2 = 0,34 \text{ kg/cm}^2.$$

Κάτω από τόν ύδατινο δρίζοντα τό έδαφος βρίσκεται σέ κατάσταση κορεσμοῦ, ἄρα  $S_r = 1$ .

Τό φαινόμενο βάρος  $\gamma$ , από τόν πίνακα I κεφ. 1, γιά κορεσμένα έδάφη είναι:

$$\gamma = \gamma_{sat} = \frac{w+1}{w + \frac{1}{\gamma_s}}.$$

Η περιεκτικότητα σέ νερό είναι:

$$w = e^{\frac{\gamma_w}{\gamma_s}} = 0,65 \cdot \frac{1,00}{2,60} = 0,25$$

ἄρα

$$\gamma = \gamma_{sat} = \frac{0,25 + 1}{0,25 + \frac{1}{2,60}} = \frac{1,25}{0,63} = 1,98 \text{ t/m}^3.$$

Η ένεργος τάση  $\sigma_2' = \sigma - u = \gamma' z_2$ , στό βάθος  $H=4,50 \text{ m}$  από τήν έλευθερη ἐπιφάνεια τοῦ έδαφους, δηλ. στό βάθος  $z_2 = H - z_1 = 4,50 - 1,80 = 2,70 \text{ m}$ , ἄρα:

32

$$z_2 = \gamma_{sat} \cdot z = 1,38 \cdot 2,70$$

$$G_2 = G_2 - u = 1,38 \cdot 2,70 -$$

$$1,40 \cdot 2,70 -$$

$$\sigma_2' = \gamma' z_2 = (\gamma_{sat} - \gamma_w) z_2 = (1,98 - 1,00) \cdot 2,70 = \\ = 2,65 \text{ t/m}^2 = 0,265 \text{ kg/cm}^2$$

$$(1,38 - 1,00) \cdot 2,70$$

Όπότε ή δολική ένεργος τάση στό βάθος  $H = 4,50 \text{ m}$  είναι

$$\sigma_{oi}' = \sigma_1' + \sigma_2' = 0,340 + 0,265 = 0,605 \text{ kg/cm}^2.$$

2.2 Τό γεωλογικό προφίλ του σχήματος 2.6 δίνει τή στρωματογραφία ένός φυσικού έδαφους πού είναι ή έξης: άπό τή στάθμη 0,00 ώς τή στάθμη -8,00 m λεπτή άμμος μέ  $\gamma_{sat, \text{άμμου}} = 1,95 \text{ t/m}^3$  και φαινόμενο βάρος ξηρού έδαφους  $\gamma_d = 1,75 \text{ t/m}^3$ . Από τή στάθμη -8,00 m ώς -14,00 m άμμώδης ίλυς μέ  $\gamma_{sat, \text{ ίλυος}} = 1,85 \text{ t/m}^3$ . Από τή στάθμη -14,00 ώς τή στάθμη -18,00 m άργιλος μέ  $\gamma_{sat, \text{ άργιλου}} = 1,75 \text{ t/m}^3$ . Νά υπολογιστεῖ ή ένεργος τάση  $\sigma'$  στό μέσο του στρώματος τής άργιλου στίς παρακάτω δύο περιπτώσεις:

- a) Όταν ο ύδατινος όριζοντας συμπίπτει μέ τή στάθμη 0,00,
- b) Όταν ο ύδατινος όριζοντας είναι στή στάθμη -4,00 και τό έδαφος πάνω άπό αυτόν έχει βαθμό κορεσμού  $S_r = 25\%$ .

### ΛΥΣΗ

a) Η λύση

Η δολική τάση στή στάθμη -16,00 (στό μέσο του άργιλικού στρώματος) είναι:

$$\sigma = \sum \gamma_i z_i ,$$

όπου  $\gamma_i$  τό φαινόμενο βάρος κάθε στρώσης και  $z_i$  τό άντιστοιχο ύψος.  
Είναι δηλ.

$$\sigma = h_1 \gamma_{sat, \text{άμμου}} + h_2 \gamma_{sat, \text{ ίλυος}} + \frac{h_3}{2} \gamma_{sat, \text{ άργ.}}$$

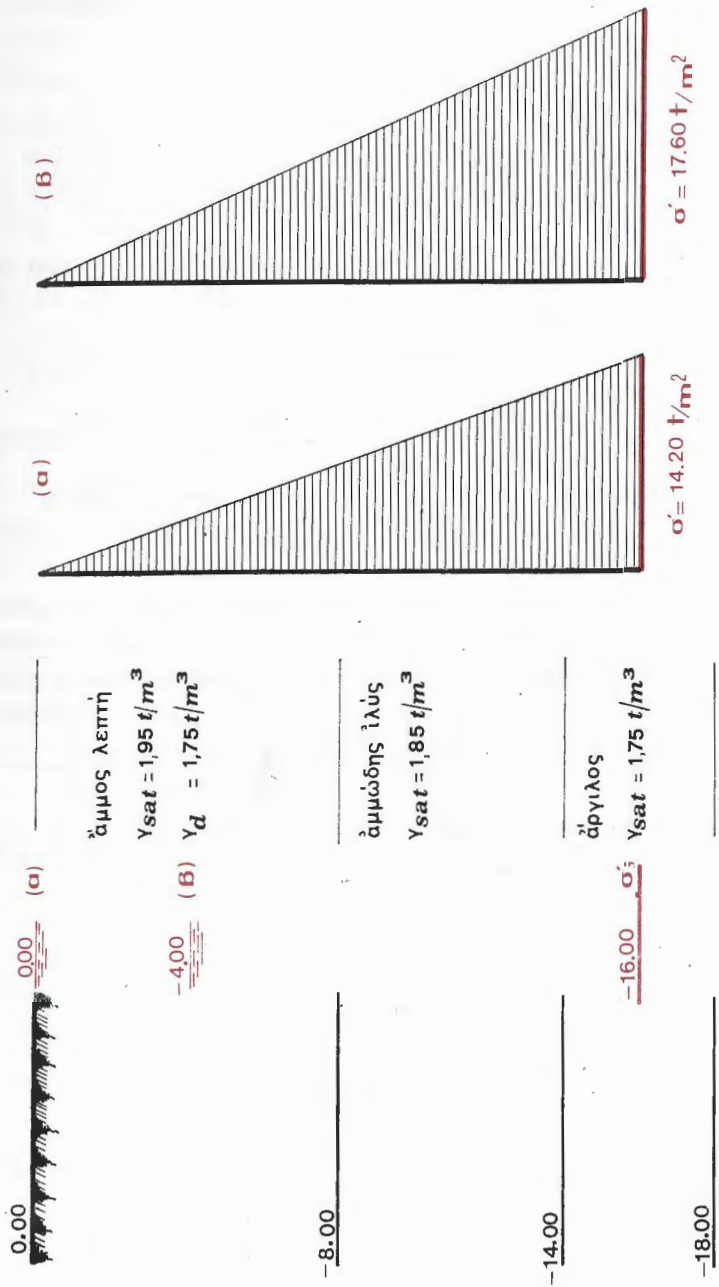
$$\sigma = 8,00 \cdot 1,95 + 6,00 \cdot 1,85 + 2,00 \cdot 1,75 = 30,20 \text{ t/m}^2 .$$

Έπισης ή πίεση του νερού τῶν πόρων στό μέσο του άργιλικού στρώματος είναι:

$$u = 16,00 \cdot \gamma_w = 16,00 \cdot 1,00 = 16,00 \text{ t/m}^2 .$$

Από τή σχέση (2.2)  $\sigma = \sigma' + u$  άρα

$$\sigma' = \sigma - u = 30,20 - 16,00 = 14,20 \text{ t/m}^2 .$$



## 2η λύση

Είναι δυνατό νά ύπολογιστεῖ ή ένεργός τάση από τή σχέση:

$$\sigma' = \sum \gamma_i' z_i$$

δπου  $\gamma_i' = \gamma_{i\text{sat}} - \gamma_w$ , δηλ.

$$\begin{aligned} \sigma' &= \gamma_1' z_1 + \gamma_2' z_2 + \gamma_3' z_3 = \\ &= 0,95 \cdot 8,00 + 0,85 \cdot 6,00 + 0,75 \cdot 2,00 = 14,20 \text{ t/m}^2. \end{aligned}$$

β) Πάνω από τόν ύδατινο δρίζοντα τό φαινόμενο βάρος δίνεται από τόν τύπο

$$\gamma = \gamma_d + S_r (\gamma_{sat} - \gamma_d)^*$$

δηλ.

$$\gamma = 1,75 + 0,25 (1,95 - 1,75) = 1,75 + 0,05 = 1,80 \text{ t/m}^3$$

έπομένως

$$\sigma' = 1,80 \cdot 4,00 + 0,95 \cdot 4,00 + 0,85 \cdot 6,00 + 0,75 \cdot 2,00 = 17,60 \text{ t/m}^2.$$

2.3 Η γεωλογική τομή έδαφικος στρώματος αποτελεῖται από άμμοχάλικο πάχους 3,00 m πού θρίσκεται πάνω από άργιλική στρώση πάχους 12,00 m. Κάτω από τήν άργιλο ύπάρχει ψαμμίτης μέ σχετικά μεγάλη διαπερατότητα. Η στάθμη τού ύπόγειου δρίζοντα είναι 0,60 m κάτω από τήν έλευθερη έπιφάνεια τού έδαφους. Τό νερό μέσα στόν ψαμμίτη θρίσκεται ύπο άρτεσιανή

\*: Απόδειξη τής σχέσης

$$\gamma = \gamma_d + S_r (\gamma_{sat} - \gamma_d).$$

Από τόν πίνακα II κεφ. 1 είναι:

$$\gamma = (1-n) \gamma_s + S_r n \gamma_w$$

από τόν πίνακα I κεφ. 1

$$n = 1 - \frac{\gamma_d}{\gamma_s}$$

$$\text{άρα } \gamma = \left[ 1 - \left( 1 - \frac{\gamma_d}{\gamma_s} \right) \right] \gamma_s + S_r \gamma_w \left( 1 - \frac{\gamma_d}{\gamma_s} \right) =$$

$$\begin{aligned} &= \gamma_d + S_r \left( \gamma_w - \frac{\gamma_w \gamma_d}{\gamma_s} \right) = \gamma_d + S_r \left[ \frac{\gamma_w (\gamma_s - \gamma_d)}{\gamma_s} \right] = \\ &= \gamma_d + S_r (\gamma_w n). \end{aligned}$$

Προσθέτοντας καί άφαιρώντας τό  $\gamma_d$ , έχουμε

$$\gamma = \gamma_d + S_r (\gamma_d + n \gamma_w - \gamma_d) = \gamma_d + S_r (\gamma_{sat} - \gamma_d).$$

πίεση που άντιστοιχεῖ σέ στάθμη 6,00 m πάνω από τήν έλευθερη έπιφανεια τοῦ έδαφους. Τά φαινόμενα θάρη είναι: άμμοχάλικο πάνω από τή στάθμη τοῦ ύπογειου δρίζοντα  $\gamma_{\text{αμ}} = 1,60 \text{ t/m}^3$ , άμμοχάλικο κάτω από τή στάθμη τοῦ ύπογειου δρίζοντα  $\gamma_{\text{sat, αμμου}} = 2,00 \text{ t/m}^3$  και ἀργιλος  $\gamma_{\text{αργ.}} = 2,20 \text{ t/m}^3$ .

a) Νά σχεδιαστοῦν: τό διάγραμμα τῶν δλικῶν τάσεων τῆς πίεσης τοῦ νεροῦ πόρων καὶ τῶν ἐνεργῶν τάσεων μέ τό βάθος στίς παρακάτω περιπτώσεις:

1. Μέ τίς ἀρχικές συνθῆκες.

2. Υποθέτοντας ὅτι ή στάθμη τοῦ ύπογειου δρίζοντα κατεβαίνει 2,00 m, ἀλλά ή πίεση στόν ψαμμίτη παραμένει ἀμετάβλητη.

β) Σέ ποιό βάθος μπορεῖ νά γίνει μιά ἐκσκαφή μεγάλου πλάτους μέσα στήν ἀργιλική στρώση χωρίς νά παρατηρηθεῖ θραύση στόν πυθμένα ἐκσκαφῆς (γιά τίς ἀρχικές συνθῆκες).

## ΛΥΣΗ

a) 1. Γιά νά σχεδιαστοῦν τά διαγράμματα τῶν δλικῶν τάσεων, τῆς πίεσης τοῦ νεροῦ πόρων καὶ τῶν ἐνεργῶν τάσεων μέ τό βάθος, πρέπει νά ύπολογιστοῦν οἱ τιμές τῶν μεγεθῶν αὐτῶν στά χαρακτηριστικά σημεῖα 1, 2, 3. Τά μεγέθη αὐτά μεταβάλλονται γραμμικά ἀνάμεσα στά σημεῖα αὐτά.

$$\Sigma \text{ημεῖο } 1: \text{ δλική τάση} \quad \sigma_1 = \gamma z = 1,60 \cdot 0,60 = 0,96 \text{ t/m}^2$$

$$\text{πίεση νεροῦ πόρων} \quad u_1 = 0$$

$$\text{ἐνεργός τάση} \quad \sigma_1' = \sigma_1 - u_1 = 0,96 - 0 = 0,96 \text{ t/m}^2$$

$$\Sigma \text{ημεῖο } 2: \text{ δλική τάση} \quad \sigma_2 = 1,60 \cdot 0,60 + 2,00 \cdot 2,40 = 5,76 \text{ t/m}^2$$

$$\text{πίεση νεροῦ πόρων} \quad u_2 = 1,00 \cdot 2,40 = 2,40 \text{ t/m}^2$$

$$\text{ἐνεργός τάση} \quad \sigma_2' = 5,76 - 2,40 = 3,36 \text{ t/m}^2$$

$$\Sigma \text{ημεῖο } 3: \text{ δλική τάση} \quad \sigma_3 = 5,76 + 2,20 \cdot 12,00 = 32,16 \text{ t/m}^2$$

$$\text{πίεση νεροῦ πόρων} \quad u_3 = 1,00 \cdot 14,40 + 6,00 = 20,40 \text{ t/m}^2$$

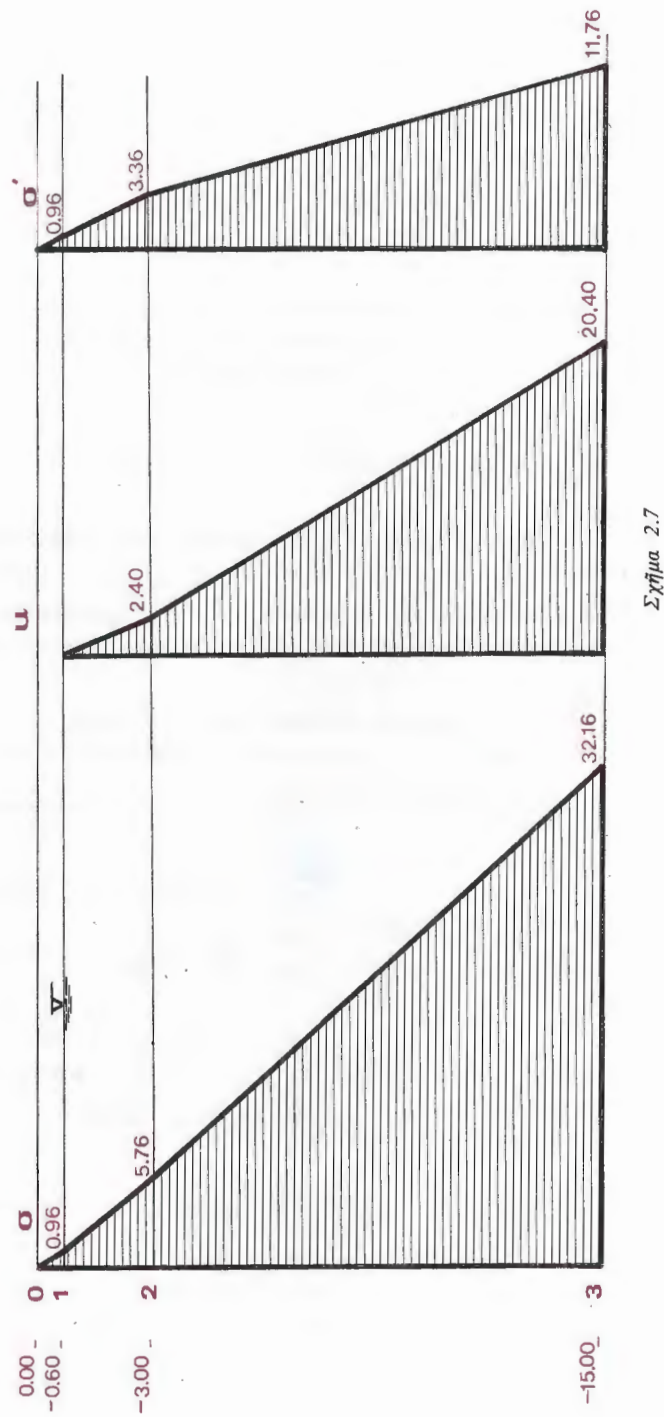
$$\text{ἐνεργός τάση} \quad \sigma_3' = 32,16 - 20,40 = 11,76 \text{ t/m}^2$$

2.

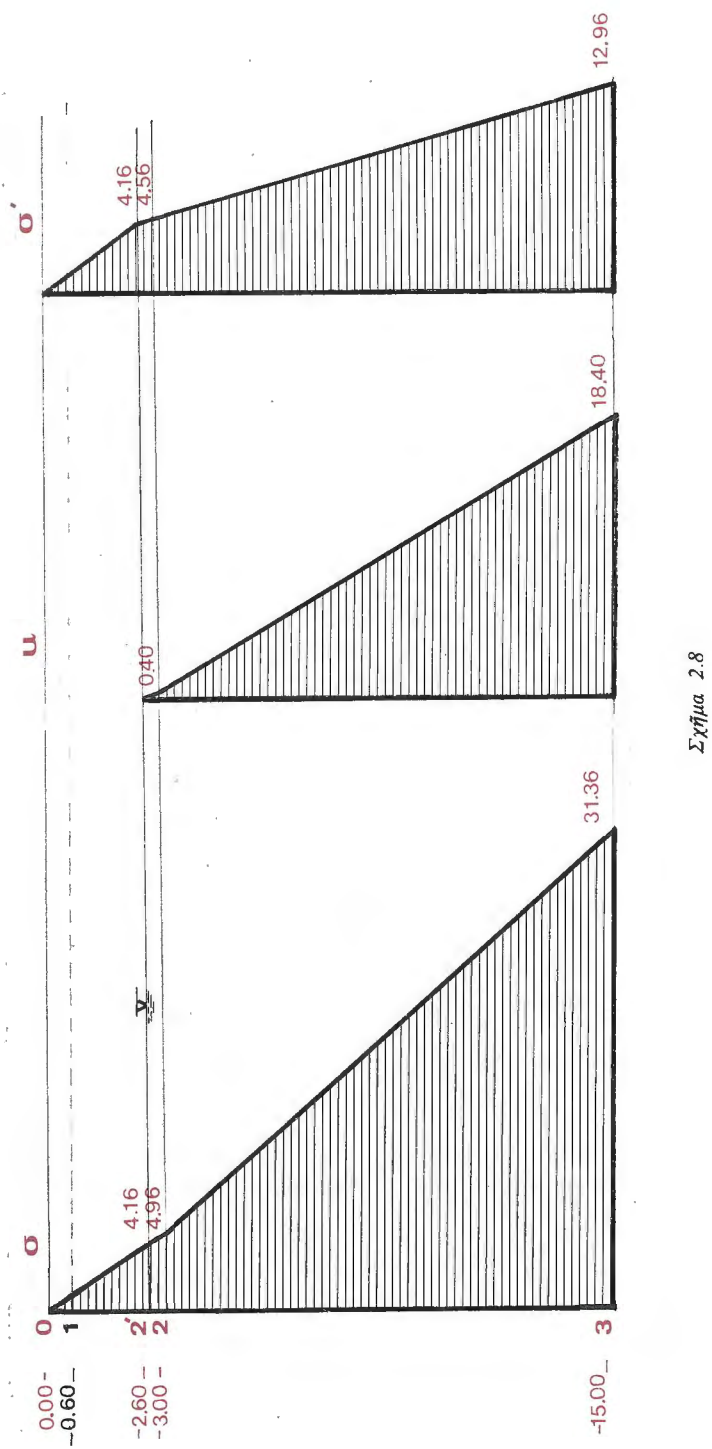
$$\Sigma \text{ημεῖο } 1: \text{ δλική τάση} \quad \sigma_1 = 0,96 \text{ t/m}^2$$

$$\text{πίεση νεροῦ πόρων} \quad u_1 = 0$$

$$\text{ἐνεργός τάση} \quad \sigma_1' = 0,96 \text{ t/m}^2$$

 $\Sigma \chi^2_{\text{fia}}$ 

2.7



$$\Sigma \text{ημερού} 2': \text{δλική τάση} \quad \sigma_2 = 0,96 + 1,60 \cdot 2,00 = 4,16 \text{ t/m}^2$$

$$\text{πίεση νερού πόρων} \quad u_2 = 0$$

$$\text{ένεργος τάση} \quad \sigma_2 = 4,16 - 0 = 4,16 \text{ t/m}^2$$

$$\Sigma \text{ημερού} 2: \text{δλική τάση} \quad \sigma_2 = 4,16 + 2,00 \cdot 0,40 = 4,96 \text{ t/m}^2$$

$$\text{πίεση νερού πόρων} \quad u_2 = 1,00 \cdot 0,40 = 0,40 \text{ t/m}^2$$

$$\text{ένεργος τάση} \quad \sigma_2' = 4,96 - 0,40 = 4,56 \text{ t/m}^2$$

$$\Sigma \text{ημερού} 3: \text{δλική τάση} \quad \sigma_3 = 4,96 + 2,20 \cdot 12,00 = 31,36 \text{ t/m}^2$$

$$\text{πίεση υδατος πόρων} \quad u_3 = 1,00 \cdot 12,40 + 6,00 = 18,40 \text{ t/m}^2$$

$$\text{ένεργος τάση} \quad \sigma_3' = 31,36 - 18,40 = 12,96 \text{ t/m}^2$$

β) Υποθέτουμε ότι τό πλάτος τής έκσκαφής είναι άρεκτά μεγάλο ώστε νά μήν άναπτυσσονται διατμητικές τάσεις. Γιά νά μήν έχουμε θραύση στό έπιπεδο έκσκαφής, θά πρέπει ή ένεργος τάση στό έπιπεδο τού ψαμμίτη νά είναι ίση μέ τήν πίεση τού νερού πόρων στή θέση αυτή, δηλ. ἂν  $D$  είναι τό βάθος τής έκσκαφής άπό τήν έλευθερη έπιφάνεια τού έδαφους, έχουμε:

$$(15,00 - D) 2,20 = 20,40$$

ἄρα

$$D = 15,00 - 9,27 = 5,73.$$

διατ. σημερινό 3

●

## 2.4 Διαπερατότητα

Τά προβλήματα τής ροής τού νερού στό έδαφος άποτελούν άντικείμενο τής ύπόγειας ύδραυλικής. Είδικά ή έδαφομηχανική ένδιαφέρεται:

- Γιά τόν προσδιορισμό τῶν ύπόγειων παροχῶν, σχετικά μέ τή διαπερατότητα, τήν άποστράγγιση τού έδαφους, τή στεγανότητα τῶν χωμάτινων κατασκευῶν κλπ.
- Γιά τή μελέτη τῶν δυνάμεων ροής, δηλαδή τῶν δυνάμεων πού άσκει τό νερό πού βρίσκεται σέ κίνηση, στούς κόκκους τού έδαφους. (Τό πρόβλημα παρουσιάζεται στή μελέτη τής ισορροπίας τῶν πρανῶν, στό φαινόμενο διασωλήνωσης, κλπ.)

3. Στή μελέτη στερεοποίησης τῶν ἐδαφῶν, δηλαδή στή μελέτη τῆς ἐκροῆς τοῦ νερού λόγω ἐπιφόρτισης τοῦ ἐδάφους, πού ἀναπτύσσεται εἰδικά τό κεφάλαιο 8.

Στή συνέχεια ἔξετάζονται μερικά πρακτικά παραδείγματα σχετικά μέ τίς παραπάνω περιπτώσεις.

## ΑΣΚΗΣΕΙΣ

2.4 Νά ύπολογιστεῖ ὁ συντελεστής διαπερατότητας  $k$  μιᾶς ἄμμου πού ἔχει τήν παρακάτω κοκκομετρική σύνθεση:

$N^o$ κόσκινου	Διάμετρος δρῆς κόσκινου (mm)	Ποσοστό πού διέρχεται %
20	0,840	99,90
40	0,420	95,00
60	0,250	60,00
80	0,177	20,00
200	0,074	1,50

## ΛΥΣΗ

Γιά τόν ύπολογισμό τῆς διαπερατότητας τῶν δμοιόρφων ἄμμων μέ συντελεστή δμοιομορφίας  $C_u < 2$  ἔχει προταθεῖ ἀπό τόν Hazen ή παρακάτω ἐμπειρική σχέση:

$$k = c D_{10}^2,$$

ὅπου  $c$  = συντελεστής μέ μέση τιμή 100, καί

$D_{10}$ =διάμετρος ἀπό ὅπου περνάει τό 10% τῶν κόκκων σέ cm.

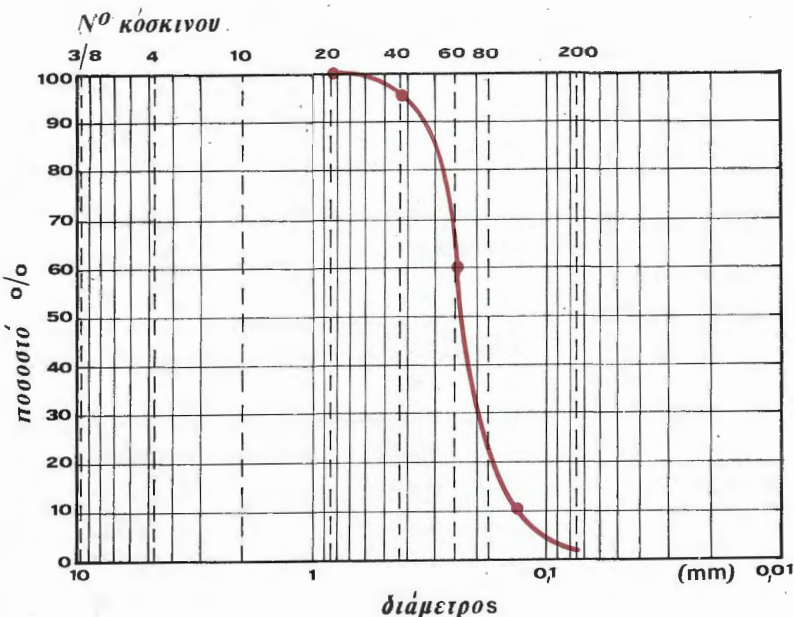
Σχεδιάζοντας τήν κοκκομετρική καμπύλη γιά τά δεδομένα τῆς ἄσκησης ἔχουμε τήν καμπύλη τοῦ σχήματος 2.9.

Ο συντελεστής δμοιομορφίας είναι:

$$C_u = \frac{D_{60}}{D_{10}} = \frac{0,25}{0,14} = 1,8 < 2.$$

"Αρα, μέ τικανοποιητική προσέγγιση:

$$k = 100 \cdot 0,014^2 = 1,96 \cdot 10^{-2} \text{ cm/sec.}$$



Σχήμα 2.9

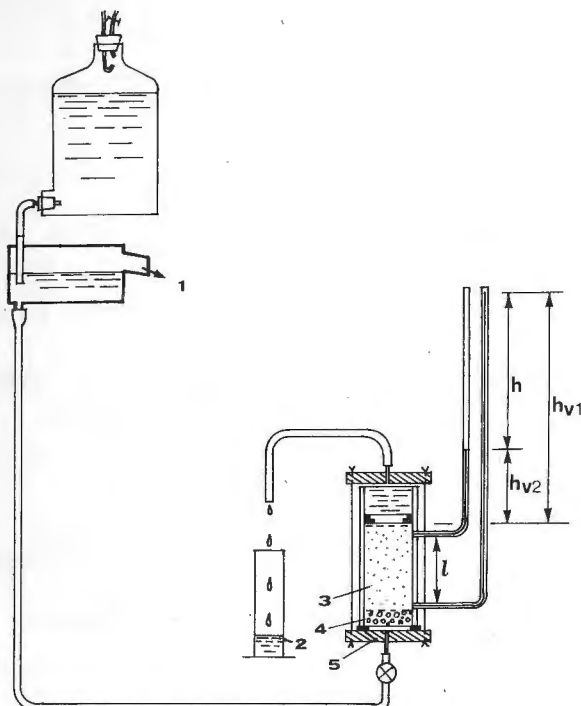
2.5 Ό ύπολογισμός τῆς διαπερατότητας γίνεται στό έργαστήριο χρησιμοποιώντας διαπερατόμετρα πού διακρίνονται σέ διαπερατόμετρα σταθεροῦ καὶ σέ διαπερατόμετρα μεταβλητοῦ φορτίου. Τά πρώτα χρησιμοποιούνται γιά τίς τιμές τοῦ  $k$  μέχρι  $10^{-3} \text{ cm/sec}$  ἐνώ τά δεύτερα γιά τίς τιμές τοῦ  $k$  ἀπό  $10^{-3} - 10^{-6} \text{ cm/sec}$ .

#### ΛΥΣΗ

Στό σχήμα 2.10 φαίνεται ἔνα διαπερατόμετρο σταθεροῦ φορτίου. Στό διαπερατόμετρο σταθεροῦ φορτίου τό πιεζομετρικό ὑψος  $h$  καὶ ἡ ὑδραυλική βαθμίδα  $i = \frac{h}{l}$  παραμένουν σταθερά καὶ μετροῦμε τήν παροχή  $Q$  γιά ἔνα δρισμένο χρονικό διάστημα  $t$ . Η διαπερατότητα  $k$  δίνεται ἀπό τή σχέση:

$$k = \frac{Q}{i A t}$$

δπου  $A = \text{ή}$  διατομή τοῦ δοκίμιου.



Σχήμα 2.10. Διαπερόμετρο σταθεροῦ φορτίου.

1. Ύπερχείλιση.
2. Κύλινδρος μέτρησης.
3. Δοκίμιο.
4. Πορώδης λίθος.
5. Βάση.

Γιά  $h = 80,00 \text{ cm}$ ,  $l = 6,00 \text{ cm}$ ,  $A = 78,50 \text{ cm}^2$ ,  $Q = 314 \text{ cm}^3$  και  $t = 60 \text{ sec}$ , έχουμε:

$$k = \frac{314}{\frac{80,0}{6,00} \cdot 78,50 \cdot 60} = 5 \cdot 10^{-3} \text{ cm/sec.}$$

2.6 Νά προσδιοριστεῖ ὁ συντελεστής διαπερατότητας  $k$  μιᾶς λεπτῆς ἀμυνού μὲ τή μέθοδο τοῦ διαπερατόμετρου μεταβλητοῦ φορτίου, πού φαίνεται στό σχῆμα 2.11, ἀν  $l = 4,00 \text{ cm}$ ,  $A = 78,50 \text{ cm}^2$ ;  $a = 0,95 \text{ cm}^2$  καὶ γιά

$$\begin{array}{ll} t_1 = 0 & h_1 = 110,00 \text{ cm} \\ t_2 = 720 \text{ sec} & h_2 = 65,00 \text{ cm.} \end{array}$$

### ΛΥΣΗ

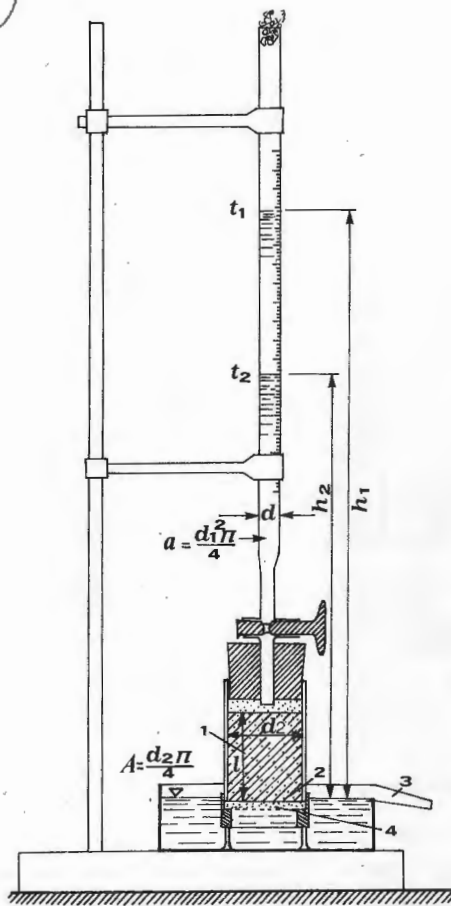
Ἡ διαπερατότητα στό διαπερατόμετρο μεταβλητοῦ φορτίου δίνεται ἀπό τή σχέση

$$k = \frac{2,3 \cdot a \cdot l}{A \cdot t} \log \frac{h_1}{h_2},$$

δηλαδή

$$k = \frac{2,3 \cdot 0,95 \cdot 4,00}{78,50 \cdot 720} \log \frac{110,00}{65,00} = 3,50 \cdot 10^{-5} \text{ cm/sec.}$$

(42)



Σχήμα 2.11. Διαπερατόμετρο μεταβλητού φορτίου.

1. Δοκίμιο. 2. Βάση. 3. Υπερχείλιση.  
4. Φίλτρο.

(2.7) Ένα έδαφος άποτελεῖται άπό τρεις όριζόντιες, ίσοπαχεῖς στρώσεις άμμου με άντιστοιχες τιμές συντελεστή διαπερατότητας  $k_1 = 2 \cdot 10^{-4} \text{ cm/sec}$ ,  $k_2 = 2 \cdot 10^{-3} \text{ cm/sec}$  και  $k_3 = 3 \cdot 10^{-4} \text{ cm/sec}$ . Νά υπολογιστοῦν οἱ τιμές τῆς μέσης διαπερατότητας τοῦ έδαφους: α) κατά τὴν κατακόρυφη, καὶ β) κατά τὴν όριζόντια διεύθυνση.

#### ΑΥΣΗ

Τά στρωσιγενή έδαφη άποτελοῦνται άπό στρώματα μέ διαφορετική διαπερατότητα. Ό προσδιορισμός τοῦ μέσου συντελεστῆ διαπερατότητας τοῦ έδαφους ύπολογίζεται άπό τὸ συντελεστή διαπερατότητας  $k_i$  κάθε στρώσης μέ τὸν ἀκόλουθο τρόπο:

"Αν  $k_1, k_2, \dots, k_n$  οἱ συντελεστές διαπερατότητας τῶν στρωμάτων,  $H_1, H_2, \dots, H_n$  τά πάχη τῶν διαφόρων στρωμάτων

$H = H_1 + H_2 + \dots + H_n$  τό συνολικό πάχος,

$k_H =$  δ μέσος συντελεστής διαπερατότητας παράλληλα πρός τίς στρώσεις

$k_V =$  δ μέσος συντελεστής διαπερατότητας κάθετα πρός τίς στρώσεις,

τότε γιά τή ροή παράλληλα πρός τίς στρώσεις έχουμε:

μέση ταχύτητα διήθησης:  $v = k_H \cdot i = \frac{1}{H} (v_1 H_1 + v_2 H_2 + \dots + v_n H_n)$ ,

ὅπου  $i =$  ή ύδραυλική κλίση πού πρέπει νά είναι ΐδια σέ κάθε στρώση.

"Αρα έχουμε

$$k_H \cdot i = \frac{1}{H} (k_1 i H_1 + k_2 i H_2 + \dots + k_n i H_n),$$

δηλαδή

$$k_H = \frac{1}{H} (k_1 H_1 + k_2 H_2 + \dots + k_n H_n).$$

Γιά ροή κάθετα πρός τίς στρώσεις ή συνολική ύδραυλική κλίση είναι:

$$i = \frac{h}{H}$$

ὅπου  $h =$  ή συνολική άπωλεια φορτίου

$$h = H_1 i_1 + H_2 i_2 + \dots + H_n i_n.$$

"Η ταχύτητα διήθησης πρέπει νά είναι ΐδια σέ κάθε στρώση, δηλαδή

$$v = \frac{h}{H} \cdot k_V = k_1 i_1 = k_2 i_2 = \dots = k_n i_n.$$

"Αρα'

$$k_V = \frac{H}{\frac{H_1}{k_1} + \frac{H_2}{k_2} + \dots + \frac{H_n}{k_n}}$$

Γιά τό συγκεκριμένο έδαφος έχουμε:

$$\text{a). } k_H = \frac{1}{H} \left( 2 \cdot 10^{-4} \frac{H}{3} + 2 \cdot 10^{-3} \frac{H}{3} + 3 \cdot 10^{-4} \frac{H}{3} \right) =$$

$$= \frac{1}{3} 25 \cdot 10^{-4} = 8,33 \cdot 10^{-4} \text{ cm/sec.}$$

(44)

$$\beta) \quad k_v = \frac{H}{\frac{H}{3 \cdot 2 \cdot 10^{-4}} + \frac{H}{3 \cdot 2 \cdot 10^{-3}} + \frac{H}{3 \cdot 3 \cdot 10^{-4}}} = \frac{H}{\frac{H}{3 \cdot 10^{-4}} (0,50 + 0,05 + 0,33)} = \\ = 3,41 \cdot 10^{-4} \text{ cm/sec.}$$

2.8 Νά υπολογιστεῖ τό ύψος τῆς τριχοειδοῦς ἀνύψωσης πού παρατηρεῖται σέ μία ὁμοιόμορφη ἄμμο μέ D<sub>10</sub> = 0,20 mm.

### ΑΥΣΗ

Τό ἔδαφος παρουσιάζει ύγρασία καί πάνω ἀπό τή στάθμη τοῦ ὑπόγειου δρίζοντα, πού διφείλεται στό φαινόμενο τῆς τριχοειδοῦς ἀνύψωσης τοῦ νεροῦ τῶν πόρων μέσα στά κενά μικρῆς διαμέτρου μεταξύ τῶν κόκκων τοῦ ἔδαφους. Ή ἀνύψωση αὐτή προκαλεῖται ἀπό τίς μοριακές ἔλξεις μεταξύ τῶν στερεῶν καί ύγρῶν στοιχείων στά κοινά σημεῖα ἐπαφῆς τῶν περιμετρικῶν ἐπιφανειῶν.

Τό ύψος h<sub>c</sub> τῆς τριχοειδοῦς ἀνύψωσης δίνεται ἀπό τή σχέση

$$h_c = \frac{4T \cos a}{\gamma_w d}$$

ὅπου : T = ή ἐπιφανειακή τάση τοῦ νεροῦ πού ἔχει τιμή 0,075 gr/cm σέ θερμοκρασία 20° C,

a = ή γωνία συνεπαφῆς τοῦ μηνίσκου μέ τά τοιχώματα τοῦ σωλήνα πού συνήθως είναι ἵση μέ 0,

$\gamma_w$  = φαινόμενο βάρος τοῦ νεροῦ,

d = ή διάμετρος τοῦ σωλήνα πού συμβατικά ἔχει τήν τιμή  $\frac{1}{5}D_{10}$

Γιά τά δεδομένα τῆς ἄσκησης:

$$h_c = \frac{4T}{\gamma_w d}$$

$$d = \frac{1}{5} D_{10} = \frac{1}{5} 2 \cdot 10^{-2} \text{ cm} = 0,40 \cdot 10^{-2} \text{ cm}$$

$$\gamma_w = 1,00 \text{ gr/cm}^3$$

$$T = 0,075 \text{ gr/cm}$$

$$\text{ἄρα: } h_c = \frac{4 \cdot 0,075 \cdot 0,40}{1,00 \cdot 0,400 \cdot 10^{-2}} \left( \frac{\text{gr}/\text{cm}}{\text{gr}/\text{cm}^3 \cdot \text{cm}} \right) = \Sigma \chi \eta \mu a 2.12 \\ = 75,00 \text{ cm.}$$

